



## ใบรับรองวิทยานิพนธ์

บัณฑิตวิทยาลัย สถาบันเทคโนโลยีพระจอมเกล้าพระนครเหนือ

เรื่อง ระบบเฝ้าระวังอาการเหนื่อยล้าของผู้ขับขี่รถยนต์

โดย ว่าที่ร้อยตรีปรีดิ แสงวิรุณ

ได้รับอนุมัติให้นับเป็นส่วนหนึ่งของการศึกษาตามหลักสูตร

ครุศาสตร์อุตสาหกรรม habilitat สาขาวิชาเทคโนโลยีคอมพิวเตอร์

คณบดีบัณฑิตวิทยาลัย

(รองศาสตราจารย์ ดร.วิบูลชัย ชินนายก)

19 มิถุนายน 2549

คณะกรรมการสอบวิทยานิพนธ์

ประธานกรรมการ

(ร้อยตำรวจตรีหญิง ดร.นิตาพร สรีรัตน์นท์)

กรรมการ

(ผู้ช่วยศาสตราจารย์ ดร.กันต์พงษ์ วรรตันนีปัญญา)

กรรมการ

(ผู้ช่วยศาสตราจารย์ ดร.สุพจน์ นิตย์สุวัฒน์)

## ระบบเฝ้าระวังอาการเหนื่อยล้าของผู้ขับขี่รถบันได

ว่าที่ร้อยตรีปรีดี แสงวิรุณ

วิทยานิพนธ์นี้เป็นส่วนหนึ่งของการศึกษาตามหลักสูตร  
ครุศาสตร์อุตสาหกรรมมหาบัณฑิต  
สาขาวิชาเทคโนโลยีคอมพิวเตอร์ ภาควิชาคอมพิวเตอร์ศึกษา<sup>1</sup>  
บัณฑิตวิทยาลัย สถาบันเทคโนโลยีพระจอมเกล้าพระนครเหนือ  
ปีการศึกษา 2549  
ISBN 974-19-0764-8  
ลิขสิทธิ์ของสถาบันเทคโนโลยีพระจอมเกล้าพระนครเหนือ

|                      |  |
|----------------------|--|
| ชื่อ                 | : ว่าที่ร้อยตรีปรีดี แสงวิรุณ                    |
| ชื่อวิทยานิพนธ์      | : ระบบเฝ้าระวังอาการเหนื่อยล้าของผู้บันป์รถชนตัว |
| สาขาวิชา             | : เทคโนโลยีคอมพิวเตอร์                           |
|                      | สถาบันเทคโนโลยีพระจอมเกล้าฯ พระนครเหนือ          |
| ที่ปรึกษาวิทยานิพนธ์ | : ร้อยตำรวจตรีหญิง ดร.นิตาพร ฤทธิ์ตันนท์         |
|                      | ผู้ช่วยศาสตราจารย์ ดร.กันต์พงษ์ วรรัตน์ปัญญา     |
| ปีการศึกษา           | : 2549   |

หน้า ๑๔

วิทยานิพนธ์ฉบับนี้นำเสนอระบบเฝ้าระวังอาการเหนื่อยล้าของผู้ขับขี่รถชนต์ โดยระบบจะตรวจหาความดันของผู้ขับขี่รถชนต์ และจำแนกถักยณะส่อแสดงอาการเหนื่อยล้าเพื่อประกอบการตัดสินใจแจ้งเตือนผู้ขับขี่รถชนต์

ขั้นตอนการดำเนินงาน เริ่มจากจับภาพผู้ขับขี่รถชนตัวยกล้องเว็บที่มีความต่อเนื่องของภาพเคลื่อนไหว 15 เฟรมต่อวินาที ขนาดของภาพที่  $640 \times 480$  พิกเซล นำภาพเคลื่อนไหวมาทำการสุ่มเลือกภาพนิ่งจำนวน 1 เฟรมในทุกๆ 7 เฟรม โดยภาพนี้ต้องเป็นภาพใบหน้าตรง ไม่สวมแว่นตาหรือนิสิ่งหนึ่งสิ่งใดปิดบังตำแหน่งของดวงตา แล้วนำภาพที่สุ่มนี้มาหาเฉพาะส่วนของใบหน้าผู้ขับขี่รถชนตัว ซึ่งในขั้นตอนนี้เป็นการประยุกต์ใช้โปรแกรมการค้นหาภาพใบหน้าของโอเพนซอร์ซคอมพิวเตอร์วิชันหรือโอเพนซีวี(Open Source Computer Vision: OpenCV) เมื่อได้ภาพเฉพาะส่วนของใบหน้าผู้ขับขี่รถชนตัวแล้วจึงทำการค้นหาริเวณของดวงตาบนใบหน้า ซึ่งผู้วิจัยได้นำเสนอวิธีคำนวณหาจุดเริ่มต้นและจุดสิ้นสุดของบริเวณดวงตา จากการหาความสัมพันธ์ของดวงตาคู่ในใบหน้าซึ่งเป็นวิธีที่ไม่ซับซ้อน แล้วจึงหาตำแหน่งของตาค่าโดยประยุกต์ใช้วิธีการหาเส้นขอบของแคนนิ่ง (Canny Edge Detection) จากนั้นก็ตรวจสอบเส้นในของ การเฝ้าระวังอาการเหนื่อยล้าของผู้ขับขี่รถชนตัวและแจ้งเตือน

ผลการทดสอบปรากฏว่า ในขั้นตอนการค้นหาภาพใบหน้านั้น ไอโอเพ็นซีรีวิให้ผลลัพธ์ที่ถูกต้อง 96.36% ขั้นตอนการค้นหาบริเวณของตำแหน่งดวงตาโดยการหาความสัมพันธ์ของดวงตากับใบหน้าถูกต้อง 94.35% ขั้นตอนการค้นหาตำแหน่งของคำคำศัพท์ของแคนเนอร์ได้ผลลัพธ์ถูกต้อง 86.86% และระบบสามารถส่งเสียงเตือนผู้ใช้ขึ้นเมื่อถูกต้องได้ตามเงื่อนไขอย่างถูกต้อง 75%

(วิทยานิพนธ์จำนวนทั้งสิ้น 43 หน้า)

**คำสำคัญ** : อาการเหนื่อยล้าของผู้ขับขี่รถชนต์, การกันไฟในหน้า, การกันไฟดวงตา,

## การศึกษาข้อมูล

## อาจารย์ที่ปรึกษาวิทยานิพนธ์

Name : Mr. Preedee Saengviroon

Thesis Title : Car Driver's Fatigue Observation System

Major Field : Computer Technology

King Mongkut's Institute of Technology North Bangkok

Thesis Advisors : Pol. Sub. Lt. Dr. Nidapan Sureerattanan

Assistant Professor Dr. Kunpong Woraratpanya

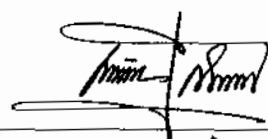
Academic Year : 2006

### Abstract

This thesis presents car driver's fatigue observation system by searching driver's eyes and classifying fatigue symptoms for decision to send an alert signal. The system starts from recording the driver's moving picture by using a web camera with 15 frames per second for speed and 640x480 pixels for resolution. Next, one still image frame from every 7 frames of the movie clip will be randomly selected. The driver's images used in this research must present straight face without glasses or any other things covering his/her eyes. Open source computer vision (OpenCV) is applied for face detection. Then after, the simple method for eye detection is proposed by finding relation of the eye and the face. Next, eyeballs detection is achieved by applying Canny's edge detection. Finally alarm will alert when the appearance of driver's eyeballs fall in the predefined condition. The experimental result presents 96.36% of accuracy for face detection by OpenCV, 94.37% of accuracy for eye detection by the proposed method and 86.86% of accuracy for eyeballs detection by Canny. The proposed system is achieved at 75% of accuracy.

(Total 43 Pages)

Keywords : Car driver's fatigue, Face detection, Eye detection, Edge detection,  
Eyeballs detection,



Advisor

## กิตติกรรมประกาศ

วิทยานิพนธ์ฉบับนี้สำเร็จดุล่วงไปได้ด้วยความช่วยเหลือจากหลายฝ่าย ขอขอบพระคุณ  
ร้อยตำรวจตรีหญิง คร.นิศาพร พรม สุรัตนันท์ และผู้ช่วยศาสตราจารย์ ดร.กันต์พงษ์ วรรตน์ปัญญา  
ที่กรุณาให้คำแนะนำที่เป็นประโยชน์และแก่ไขข้อบกพร่องต่างๆในการทำวิจัยมาโดยตลอด

ขอขอบคุณอาจารย์อุ่น, ป้าเป็ล, เพื่อนหนุ่ม, เพื่อนพด, เพื่อนโจ๊ก, เจื้อวันและนักศึกษาของ  
สาขาวิชาเทคโนโลยีวิศวกรรมเครื่องทำความเย็นและปรับอากาศ วิทยาลัยเทคโนโลยีอุตสาหกรรมทุก  
ท่าน ที่สละเวลามาช่วยในการขับรถเพื่อให้ได้ภาพสำหรับใช้ในการทดลอง ขอขอบคุณศิลปะและ  
น้องซึ่น รวมทั้งเพื่อนร่วมห้องเรียนทุกคนที่ได้ให้ความช่วยเหลือและให้กำลังใจตลอดมา

เห็นอีกสิ่งอื่นในโครงการนี้ขอขอบพระคุณบิดา นารดา และพี่ๆ ทุกคน ที่ให้ความช่วยเหลือด้าน<sup>ด้าน</sup>  
ต่างๆ ให้สามารถทำงานวิทยานิพนธ์ฉบับนี้ดุล่วงคืบดี

ปรีดี แสงวิรุณ

## สารบัญ

|   | หน้า |
|---|------|
| บทคัดย่อภาษาไทย   | ๙    |
| บทคัดย่อภาษาอังกฤษ  | ๑    |
| คิดติกรรมประการ   | ๑    |
| สารบัญตาราง   | ๗    |
| สารบัญภาพ   | ๗    |
| บทที่ ๑ บทนำ  | ๑    |
| 1.1 ความเป็นมาและความสำคัญของปัญหา                          | ๑    |
| 1.2 วัตถุประสงค์ของการวิจัย                                 | ๒    |
| 1.3 สมมติฐานของการวิจัย                                     | ๒    |
| 1.4 ขอบเขตของการวิจัย                                       | ๒    |
| 1.5 นิยามศัพท์เฉพาะ   | ๒    |
| บทที่ ๒ เอกสารและงานวิจัยที่เกี่ยวข้อง                      | ๔    |
| 2.1 ภาพเชิงคิดเหตุ  | ๔    |
| 2.2 การหาภาพใบหน้า  | ๖    |
| 2.3 การหาข้อมูลภาพ  | ๘    |
| 2.4 ชาฟท์รานสฟอร์ม  | ๑๖   |
| 2.5 งานวิจัยที่เกี่ยวข้อง                                   | ๑๗   |
| บทที่ ๓ วิธีดำเนินการวิจัย                                  | ๒๐   |
| 3.1 ขั้นตอนการวิจัย   | ๒๐   |
| 3.2 ขั้นตอนการค้นหาบริเวณของคำแห่งดวงตา                     | ๒๑   |
| 3.3 ขั้นตอนการค้นหาดวงตาในภาพ                               | ๒๔   |
| 3.4 ขั้นตอนการกำหนดเงื่อนไขและตรวจสอบเงื่อนไขในการแข่งต่อไป | ๒๖   |
| บทที่ ๔ ผลการวิจัย  | ๓๐   |
| 4.1 ผลการวิจัย  | ๓๐   |
| 4.2 วิเคราะห์ผลการวิจัย                                     | ๓๒   |
| บทที่ ๕ สรุปผลการวิจัยและข้อเสนอแนะ                         | ๓๕   |
| 5.1 สรุปผลการวิจัย  | ๓๕   |
| 5.2 ปัญหาและข้อเสนอแนะ                                      | ๓๕   |
| 5.3 ประโยชน์ที่ได้รับจากการวิจัย                            | ๓๖   |

## สารบัญ (ต่อ)

|   | หน้า |
|---|------|
| เอกสารอ้างอิง   | 37   |
| ภาคผนวก ก การใช้งานระบบเฝ้าระวังอาการเหนื่อยล้าของผู้ขับขี่รถบันทึกวิดีโอ | 39   |
| ประวัติผู้วิจัย   | 43   |

## สารบัญตาราง

| ตารางที่   | หน้า |
|--|------|
| 2-1 ตารางสรุปผลการทดสอบของ M. Sodhi, B.Reimer และ J.L. Choen | 17   |
| 4-1 ผลการทดสอบการทดสอบระบบ                                   | 33   |

## สารบัญภาพ

| ภาพที่   | หน้า |
|--|------|
| 2-1 ระบบแม่สีทั้งสามในรูปแบบพิกัด 3 มิติ                     | 5    |
| 2-2 ค่าสีในโภนสีเทา  | 6    |
| 2-3 รูปแบบที่ใช้ค้นหาภาพใบหน้า                               | 8    |
| 2-4 การหาขอบภาพโดยใช้เทมเพลตขนาด $3 \times 3$                | 12   |
| 2-5 ขั้นตอนการหาขอบภาพของแคนนี                               | 13   |
| 2-6 การหาจุดศูนย์กลางวงกลม                                   | 16   |
| 2-7 ภาพอุปกรณ์ตรวจจับการเคลื่อนที่ของดวงตา                   | 17   |
| 3-1 ขั้นตอนการวิจัย  | 20   |
| 3-2 ขั้นตอนการค้นหาตำแหน่งของดวงตา                           | 21   |
| 3-3 ภาพที่รับเข้ามาจากกล้องวงแหวน                            | 21   |
| 3-4 ภาพใบหน้าที่แยกออกจากพื้นหลัง                            | 22   |
| 3-5 การหาความสัมพันธ์ของดวงตา กับ ใบหน้า                     | 22   |
| 3-6 การหานิริเวณดวงตา  | 23   |
| 3-7 ขั้นตอนการหาดวงตา  | 24   |
| 3-8 การแปลงภาพเป็นโภนสีเทา                                   | 24   |
| 3-9 การปรับปรุงคุณภาพของภาพ                                  | 25   |
| 3-10 เส้นขอบของดวงตา   | 25   |
| 3-11 การหาจุดศูนย์กลางของดวงตา                               | 26   |
| 3-12 ขั้นตอนการทำหนดเงื่อนไขและตรวจสอบเงื่อนไขในการแจ้งเตือน | 26   |
| 3-13 เงื่อนไขในการแจ้งเตือน                                  | 28   |
| 4-1 การค้นหาใบหน้าในภาพ                                      | 30   |
| 4-2 การค้นหาบริเวณดวงตา                                      | 31   |
| 4-3 การปรับปรุงคุณภาพของภาพ                                  | 31   |
| 4-4 การหาเส้นขอบของดวงตา                                     | 32   |
| 4-5 ความผิดพลาดในการค้นหาใบหน้า                              | 32   |
| 4-6 ความผิดพลาดในการหาเส้นขอบตา                              | 32   |
| ก-1 หน้าจอเริ่มค้นการใช้งาน                                  | 40   |
| ก-2 การโหลดไฟล์ภาพเคลื่อนไหว                                 | 40   |

## สารบัญภาค (ต่อ)

| ภาคที่  | หน้า |
|---|------|
| ก-3 การค้นหาความต้องการในภาค                              | 41   |
| ก-4 การค้นหาความต้องการของคนขับรถชนต์ในขณะหลับตา          | 41   |
| ก-5 การค้นหาความต้องการของคนขับรถชนต์ในขณะหลับตาติดต่อกัน | 42   |

## บทที่ 1

### บทนำ

#### 1.1 ความเป็นมาและความสำคัญของปัญหา

ปัจจุบันนี้ความก้าวหน้าทางเทคโนโลยีสูงขึ้นอย่างรวดเร็ว มีการพัฒนาเครื่องทุ่นแรงต่างๆ แก่นมูนย์ทำให้ชีวิตสบายขึ้น รถชน์เป็นส่วนหนึ่งที่ได้รับการพัฒนาให้มีอุปกรณ์เสริมเพื่อความปลอดภัยมากขึ้น ไม่ว่าจะเป็นเบรก ถุงลมนิรภัย โครงสร้างด้วยเหล็ก หรือสัญญาณเตือนภัยต่างๆ เพื่อป้องกันอุบัติเหตุ อุบัติเหตุก็ยังคงเกิดขึ้นและเป็นสาเหตุการตายอันดับต้น [1] การพิจารณาปัจจัยต่างๆ ที่มีผลต่อการเกิดอุบัติเหตุจึงเป็นเรื่องที่น่าสนใจ ไม่ว่าจะเป็นสภาพถนน สภาพการจราจร และอื่นๆ โดยเฉพาะอย่างยิ่ง คือตัวผู้ขับขี่รถชน์เอง [2] ทั้งนี้การมาสูรากความอ่อนเพลีย เหนื่อยล้า จะทำให้ความสามารถในการขับขี่ลดลง เนื่องจากประสิทธิภาพสูงนี้มีปฏิกริยาซ้ำซ้อน สมองต้อง การสั่งการของสมองไปยังกล้ามเนื้อช้าลง อาจสูญเสียการควบคุมรถชั่วขณะ และในกรณีคันขับอาจแตะเบรกหรือหักรถหลบหลีกได้ช้ากว่าปกติ [3]

ในประเทศไทยได้มีงานวิจัยที่น่าสนใจของพลชัย [4] เป็นอุปกรณ์ตีตอนหลับใน โดยมีหลักการทำงาน คือ ทุกครั้งที่เหยียบคันเร่งและหมุนพวงมาลัยหนึ่งครั้งจะทำการเก็บสถิติต่างๆ ไว้ในหน่วยความจำ เมื่อจากลักษณะในการขับขี่ของแต่ละบุคคลนั้นมีความแตกต่างกัน หากผู้ขับขี่แสดงลักษณะของการขับรถที่แตกต่างไปจากสถิติเดิมที่เก็บไว้เครื่องก็จะส่งเสียงร้องเตือนเพื่อปลุกคนขับให้ตื่น ซึ่งวิธีนี้สามารถป้องกันอุบัติเหตุได้ระดับหนึ่ง

ในต่างประเทศได้มีการศึกษาเกี่ยวกับการตรวจจับอาการง่วงนอนของผู้ขับขี่รถชน์ในสภาพแวดล้อมจริง โดยอาศัยการตรวจสอบการทำงานของเปลือกตา ซึ่งสามารถจับอาการง่วงนอนได้ถึง 80 เปอร์เซ็นต์ของชุดทดสอบ แต่ไม่สามารถใช้กับผู้ทดสอบที่มีสีผิวเข้มจนเกินไปได้ [5]

ผู้วิจัยจึงมีความสนใจที่จะพัฒนาระบบที่เฝ้าระวังและแจ้งเตือนอาการเหนื่อยล้าในสถานการณ์ จำลองแต่สภาพแวดล้อมจริงภายในรถชน์ โดยศึกษาวิธีการต้นทางความคิดของผู้ขับขี่เพื่อใช้สำหรับวินิจฉัยอาการเหนื่อยล้า โดยมุ่งเน้นให้เกิดความปลอดภัยในการขับรถชน์ ลดความเสี่ยงของการเกิดอุบัติเหตุบนท้องถนน บรรเทาการสูญเสียในชีวิตและทรัพย์สิน

## 1.2 วัตถุประสงค์ของการวิจัย

เพื่อพัฒนาระบบเฝ้าระวังอาการเหนื่อยล้าของผู้ขับขี่รถบันได โดยใช้กระบวนการค้นหาดวงตาและการจำแนกลักษณะ

## 1.3 สมมติฐานของการวิจัย

ระบบเฝ้าระวังอาการเหนื่อยล้าของผู้ขับขี่รถบันไดสามารถค้นหาดวงตาและจำแนกลักษณะที่ส่อแสดงอาการเหนื่อยล้าของผู้ขับขี่รถบันไดจากลักษณะปกติได้

## 1.4 ขอบเขตของการวิจัย

1.4.1 ระบบที่พัฒนาขึ้นนี้จะใช้โปรแกรม MATLAB 6.5 ขึ้นไป ในการเขียนโปรแกรม และสร้างรูปแบบหน้าจอกราฟิกเพื่อการติดต่อกับผู้ใช้งาน (Graphic User Interface: GUI)

1.4.2 ภาพนำเข้าเพื่อใช้ทดสอบเป็นภาพที่ได้จากกล้องเว็บ(Web Camera)ที่แสดงผลแบบเวลาจริงและมีลักษณะดังนี้

1.4.2.1 ขนาดของภาพ 640x480 พิกเซล

1.4.2.2 พื้นที่บริเวณดวงตาของบุคคลในภาพจะต้องไม่ปรากฏแหวนตาหรือสิ่งอื่นใด ปิดบัง

1.4.3 กล้องเว็บมีความเร็วในการบันทึกภาพเคลื่อนไหว 15 เฟรมต่อวินาที

1.4.4 ระบบจะส่งสัญญาณเตือนแจ้งเตือนผู้ขับขี่รถบันได เมื่อตรวจพบลักษณะของดวงตาที่ส่อแสดงอาการเหนื่อยล้าของผู้ขับขี่

## 1.5 นิยามศัพท์เฉพาะ

1.5.1 ผู้ขับขี่ หมายถึง ผู้ที่ควบคุมรถยนต์ให้เคลื่อนที่ไปบนท้องถนน

1.5.2 อาการเหนื่อยล้า หมายถึง อาการง่วงนอนอันเกิดจากความอ่อนเพลียจากการทำกิจกรรมต่างๆ เป็นเวลานาน มีลักษณะส่อแสดงคือหลับตาในขณะขับรถบันได

1.5.3 ภาพไบナรี่ (Binary Image) หมายถึง รูปภาพดิจิตอลซึ่งมีค่า 0 บุกภาพหนึ่ง ๆ ได้เพียงค่า 0 หรือ 1 เท่านั้น โดยที่ค่า 0 แทนบุกที่มีสีดำ และค่า 1 แทนบุกที่มีสีขาว

1.5.4 ภาพสี (Color Images) หมายถึง ภาพสีในระบบแมสตีทั้งสามสี (Red Green Blue: RGB)

1.5.5 รูปแบบของสี (Color Model) หมายถึง สีที่ใช้สำหรับการอ้างอิงถึงสีต่างๆ โดยที่จะไม่ใช้รูปแบบการอ้างอิงถึงสีที่ใช้ในกระบวนการวิทยาศาสตร์ซึ่งใช้วิธีการวัดค่าของพลังงานเป็น

ช่วงของสเปกตรัม แต่จะใช้ความสัมพันธ์ของค่าที่ใช้อ้างอิงกับสีใดๆ จากการทดลองที่เป็นการศึกษาที่มีความรับรู้ของมนุษย์เข้ามาเกี่ยวข้อง

1.5.6 การค้นหาใบหน้า (Face Detection) หมายถึง การค้นหาใบหน้าของผู้เข้าร่วมคนต่อไปในภาพ

1.5.7 ภาพระดับสีเทา (Gray Scale Image) หมายถึง รูปภาพที่ถูกเปลี่ยนให้เป็นภาพที่มีสีอยู่ในช่วงโทนสีเทา โดยไม่ระดับความเข้มตามระดับความเข้มสีของวัตถุในภาพ

1.5.8 สีโครเมติก (Chromatic Color) หมายถึง สีหนึ่งที่มีค่าฮิว(Hue) และคงอย่างชัดเจน

1.5.9 โอด (Holes) หมายถึง จุดสีดำหรือซ่องว่างสีดำที่เกิดขึ้นภายในภาพเมื่อถูกแปลงเป็นภาพแบบไบนาเรีย ซึ่งจุดสีดำหรือซ่องว่างสีดำเหล่านี้นิยมเรียกของใบหน้าที่มีสีไม่เหมือนกับสีผิวของมนุษย์ เช่น ดวงตา รูจมูก และปาก เป็นต้น

1.5.10 การปรับปรุงคุณภาพของภาพ (Image Enhancement) หมายถึง การดำเนินการเพื่อปรับปรุงคุณภาพของภาพดิจิตอลทั้งในเรื่องของความคมชัด (Contrast) ความสว่าง (Brightness) และการกำจัดสิ่งรบกวน (Noise) หรือการทำให้ภาพมีความชัดมากขึ้น

1.5.11 การแบ่งส่วนย่อยในภาพ (Image Segmentation) หมายถึงการแบ่งภาพออกเป็นส่วนย่อยๆ เพื่อความสะดวกในการพิจารณารายละเอียดหรือการประมวลผลภาพในลักษณะต่างๆ

1.5.12 ตัวกรองแบบต่ำผ่าน (Low-Pass Filter) หมายถึง การเปลี่ยนรูปแบบของภาพโดยอาศัยตัวกรองภาพเพื่อปรับปรุงภาพให้มีคุณภาพที่ดีขึ้น โดยการกำจัดสิ่งรบกวน (Noise) ที่มีความถี่สูงออกจากภาพ

1.5.13 ค่าขอบเขตที่กำหนด (Threshold Value) หมายถึง ค่าที่ใช้สำหรับเปรียบเทียบสิ่งต่างๆ เพื่อระบุให้ชัดเจนว่าอะไรคือวัตถุที่ต้องการ และอะไรไม่ใช่วัตถุที่ต้องการจากภาพ

## บทที่ 2

### เอกสารและงานวิจัยที่เกี่ยวข้อง

ในการขับรถบนท้องถนนผู้ขับจะใช้สายตาในการรับภาพท้องถนน เพื่อใช้บังคับทิศทางและอื่นๆ ซึ่งการทำงานของสายตาและสมองจะเป็นไปอย่างต่อเนื่อง จึงเห็นได้ว่ามีการใช้งานของสายตาและสมองอย่างหนักเพื่อการขับรถยนต์ ทำให้ในบางครั้งผู้ขับเกิดอาการเหนื่อยล้าและก่อให้เกิดอุบัติเหตุขึ้นได้ ในงานวิจัยนี้ได้นำเสนอระบบเฝ้าระวังอาการเหนื่อยล้าของผู้ขับขี่รถยนต์ ซึ่งมีทฤษฎีและงานวิจัยที่เกี่ยวข้องดังนี้

#### 2.1 ภาพเชิงดิจิตอล (Digital Image)

ในระบบเฝ้าระวังอาการเหนื่อยล้าของผู้ขับขี่รถยนต์นี้ ได้นำหลักการของประมวลผลภาพมาใช้ระบุว่าผู้ขับขี่รถยนต์มีอาการเหนื่อยล้าหรือไม่ จากนั้นจึงนำข้อมูลส่วนนี้ไปใช้ในการตัดสินใจ แจ้งเตือน จึงได้ทำการศึกษาเกี่ยวกับภาพเชิงดิจิตอล โดยภาพดิจิตอลนี้จะประกอบด้วย ส่วนประกอบความเข้มแสง (Luminance Component) และส่วนประกอบความเข้มสี (Chrominance Component) ซึ่งข้อมูลเหล่านี้จะอยู่ในรูปแบบของจำนวนจุดภาพต่อหน่วยพื้นที่ความกว้าง โดยแต่ละจุดได้จากการสุ่มตัวอย่างและการควบคุมไฟชั้น โดยทั่วไปแต่ละภาพเมื่อผ่านการควบคุมไฟชั้นจะถูกแบ่งออกเป็น 256 ระดับหรือ 8 บิต

ในการประมวลผลภาพดิจิตอล เราจะต้องทราบว่าในการอ้างอิงถึงภาพดิจิตอลเราจำแนกให้อยู่ในรูปแบบทริกเมนต์ 2 มิติ โดยที่  $x$  และ  $y$  เป็นพิกัดและกำหนดให้ พิกัดชั้น  $f(x,y)$  คือ ความเข้มของแสงในแต่ละจุด หรือ ในแต่ละพิกเซลของภาพ โดยที่ค่าต่างๆ ในภาพดิจิตอลจะเป็นค่าที่จำกัดและเป็นปริมาณที่ไม่ต่อเนื่อง

ภาพดิจิตอลที่นำมาใช้ในงานวิจัยนี้ประกอบด้วยระบบของภาพสีและภาพโภนสีเทา โดยในภาพสีนี้จะเป็นภาพหลักที่ได้จากกล้องที่ใช้บันภาพผู้ขับขี่รถยนต์ ซึ่งมีรายละเอียดของภาพสีดังนี้

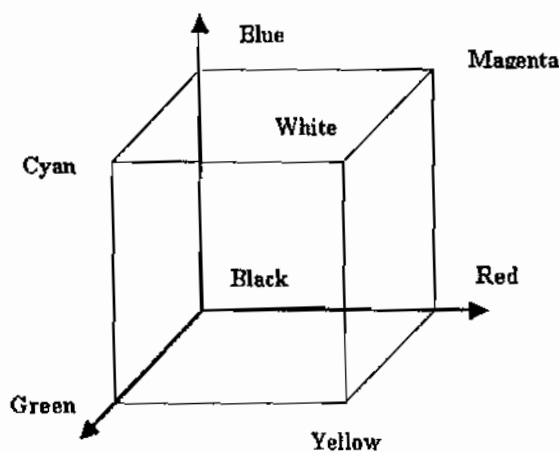
##### 2.1.1 ระบบสีของภาพดิจิตอล

###### 2.1.1.1 ระบบแม่สีทั้งสาม (Red Green Blue: RGB)

ระบบแม่สีทั้งสาม เป็นระบบสีของแสง ซึ่งเกิดจากการหักเหของแสงผ่านแก้วปริซึม จะเกิดແฉบสีที่เรียกว่าແฉบสเปกตรัม (Spectrum) ซึ่งแยกสีตามที่สายตามองเห็นได้ 7 สี คือ แดง แสดค เหลือง เขียว น้ำเงิน คราม ม่วง ซึ่งเป็นพลังงานอยู่ในรูปของรังสีที่มีช่วงคลื่นที่สายตาสามารถมองเห็นได้ แสงสีม่วงมีความถี่คลื่นสูงที่สุด คลื่นแสงที่มีความถี่สูงกว่าแสงสีม่วง

เรียกว่า อุลตราไวโอเลต (Ultra Violet) และคลื่นแสงสีแดงมีความถี่คลื่นต่ำที่สุด คลื่นแสงที่ต่ำกว่า แสงสีแดงเรียกว่า อินฟราเรด (Infrared) คลื่นแสงที่มีความถี่สูงกว่าสีม่วง และต่ำกว่าสีแดงนั้น สายตาของมนุษย์ไม่สามารถรับได้ แต่มือศึกษาดูแล้วแสงสีทั้งหมดเกิดจากแสงสี 3 สี คือ สีแดง (Red) สีน้ำเงิน (Blue) และสีเขียว (Green) ทั้งสามสีถือเป็นแม่สีของแสง เมื่อนำมา الجمعกันจะทำให้เกิดสีใหม่อีก 3 สี คือ สีแดงมาเขนด้า สีฟ้าขาวและสีเหลือง และถ้าจ่ายแสงสีทั้งหมดรวมกันจะได้แสงสีขาว จากคุณสมบัติของแสงนี้เราได้นำมาใช้ประโยชน์ทั่วไปในการถ่ายภาพบันทึกภาพวิดีโอ ภาพโทรทัศน์ การสร้างภาพเพื่อการนำเสนอทางคอมพิวเตอร์ และการจัดแสงสีในการแสดง เป็นต้น

ระบบแม่สีทั้งสามเป็นระบบที่เกิดจากการผสมแสงสีหลัก 3 สี คือ แดง (Red) เขียว (Green) น้ำเงิน (Blue) โดยจะแยกกันอยู่คนละชีนแนล (Channel) สำหรับภาพนาค 24 บิตต่อ พิกเซลในแต่ละชีนแนลจะมีค่าความเข้มแสง 256 ระดับ คือ ตั้งแต่ 0 ถึง 255 หรือ เท่ากับ  $8 \text{ บิต } (2^8)$  ซึ่งค่าสีในแต่ละพิกเซลจะเกิดจากการรวมกันของข้อมูลทั้ง 3 ชีนแนล โดยอาศัยระบบカラ์ที่เรียกว่า โคงอร์ดิเนตในการระบุค่าสีแต่ละสี ซึ่งสามารถแสดงได้เป็นรูปสูญญากาศโดยมีค่า RGB เป็นค่าบุนทั้ง 3 และมีสีดำเป็นโคงอร์ดิเนตที่  $(0,0,0)$  และมีสีขาวที่โคงอร์ดิเนต  $(255,255,255)$  ดังแสดงในภาพที่ 2-1 ส่วนค่าสีต่างๆ จะเป็นจุดภายในสูญญากาศ ซึ่งกำหนดโดยเวคเตอร์จากจุดกำเนิด ซึ่งไปยังจุดนั้น ๆ



ภาพที่ 2-1 ระบบแม่สีทั้งสามในรูปแบบพิกัด 3 มิติ [6]

โดยหลักการแล้วสามารถนำภาพสีมาใช้ในงานวิจัยนี้ได้ แต่จะทำให้เกิดความลับซับซ้อนในการทำงาน จึงจำเป็นต้องแปลงภาพสีเหล่านี้ให้อยู่ในระบบโทนสีเทา เพื่อลดความซับซ้อนของข้อมูลบางส่วนลงก่อนนำไปประมวลผลในขั้นตอนการปรับปรุงคุณภาพของภาพ

### 2.1.1.2 ระบบโทนสีเทา (Gray Scale)

เป็นอัตราส่วนของโทนสีเทา ซึ่งมีการໄ้ร์ระดับความอ่อนแก่ที่อยู่ระหว่างสีขาวกับสีดำ (Halftone Image) การสร้างภาพให้มีระดับสีต่างๆ อย่างต่อเนื่อง ด้วยการใช้จุดสีที่มีขนาดต่างกัน หรือมีความหนาแน่นของจุดต่างกัน

ค่าในแต่ละพิกเซลของภาพโทนสีเทาคือค่าความเข้มของแสง ณ แต่ละตำแหน่งของพิกเซล ซึ่งจะอยู่ในรูปของโทนสีเทา ดังภาพที่ 2-2 ค่าที่เป็นไปได้ของโทนสีเทาจะขึ้นอยู่กับจำนวนบิตที่ใช้ ตัวอย่างเช่น 8-บิต โนโน่โครม จะมีระดับสีเทา ทั้งหมด 256 ระดับ



ภาพที่ 2-2 ค่าสีในโทนสีเทา [6]

เราสามารถเปลี่ยนภาพจากรูปแบบแม่สีทึ้งสามมิติ เป็นโทนสีเทาโดยใช้สูตรดังด่อไปนี้ในการเปลี่ยน

$$y = 0.3R + 0.59G + 0.11B \quad (2-1)$$

โดย  $y$  แทน ค่าโทนสีเทา ณ จุดพิกเซล ที่ต้องการหา

$R$  แทน ค่าของสีแดง ณ จุดที่ต้องการหา

$G$  แทน ค่าของสีเขียว ณ จุดที่ต้องการหา

$B$  แทน ค่าของสีน้ำเงิน ณ จุดที่ต้องการหา

## 2.2 การค้นหาภาพใบหน้า

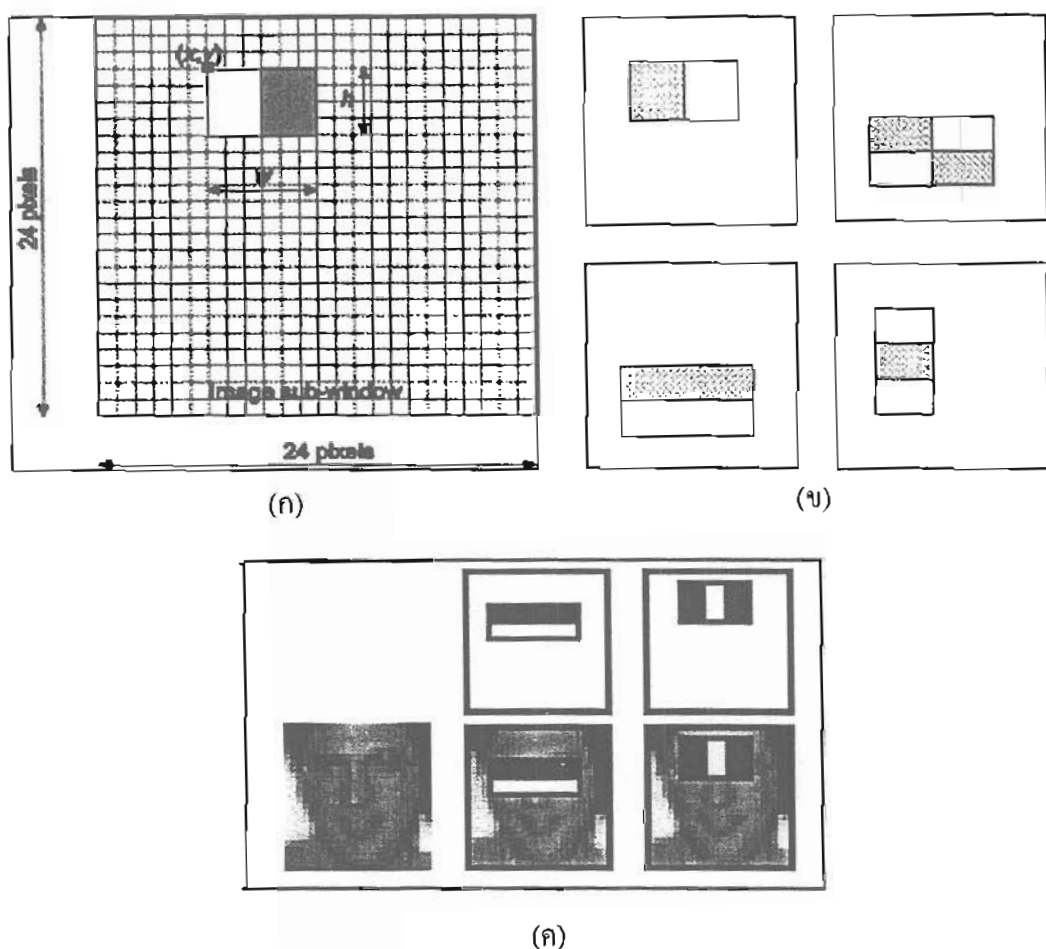
รายละเอียดต่างๆ ภายในภาพที่ได้จากการถ่ายรูปเว็บนั้นจะประกอบด้วยองค์ประกอบของหลายๆ อย่างด้วยกัน เช่น ใบหน้าคนขับ พื้นหลังภายในรถชนิด สิ่งแวดล้อมภายนอกรถ ดังนั้นเพื่อเมื่อการคัดพื้นที่ในการค้นหาดวงตาจึงได้ทำการค้นหาภาพใบหน้าก่อนในขั้นตอนแรก

การค้นหาใบหน้านี้มีความสำคัญอย่างหนึ่งในการงานด้านคอมพิวเตอร์วิชัน (Computer Vision) หลักการคือค้นหารายละเอียดต่างๆ ในภาพที่มีลักษณะคล้ายกับรูปแบบที่เรากำหนดไว้ เช่น สีเดียวกัน หรือลักษณะหรือรูปแบบเดียวกัน แต่ในการค้นหาภาพใบหน้าของมนุษย์เป็นการ

หากที่จะกำหนดครูปแบบหรือการเรียนรู้ เพื่อจะประกอบไปด้วยกลุ่มของรูปแบบการค้นหาที่มากน้อย ตัวอย่างเช่น พบใบหน้าอีเมลหรืออาจสวมแ้วันตา มีแสงและเงาบนใบหน้า ดังนั้นจึงได้นำรูปแบบต่างๆ ของใบหน้ามาสร้างเป็นรูปแบบข้อมูลทางสถิติเพื่อนำไปใช้ในการเรียนรู้รูปแบบของใบหน้าและนำไปใช้ในการค้นหาภาพใบหน้า

รูปแบบต่างๆ จะถูกจัดเก็บไว้ในฐานข้อมูล ซึ่งประกอบไปด้วยตัวอย่างของรูปแบบที่ดี (Positive Sample) และรูปแบบที่ไม่ดี (Negative Sample) รูปแบบทั้งสองจะถูกนำมาใช้เป็นชุดตัวอย่างในการค้นหาใบหน้าในภาพ ในแต่ละครั้งของการค้นหาหากไม่พบภาพใบหน้าในภาพ จะมีการเก็บข้อมูลรูปแบบต่างๆ ในภาพนั้นไว้ในส่วนของรูปแบบที่ไม่ดี เพื่อไว้ใช้เป็นข้อมูลเปรียบเทียบในการค้นหาภาพใบหน้าในครั้งต่อไป

จากหลักการที่กล่าวมาข้างต้น ได้มีผู้นำมาประยุกต์ใช้ โดยกำหนดรูปที่ต้องการค้นหาให้มีขนาด  $24 \times 24$  พิกเซล ดังภาพที่ 2-3 (ก) และนำหน้าต่างสำหรับค้นหา (รูปแบบของภาพใบหน้า) ดังภาพที่ 2-3 (ข) มาทับลงบนภาพ แล้วทำการเลื่อนหน้าต่างนี้ไปจนทั่วภาพเพื่อค้นหาลักษณะของข้อมูลที่เป็นภาพใบหน้า หากค้นหาไม่พบลักษณะของใบหน้าในภาพ จะทำการเปลี่ยนรูปแบบของหน้าต่างที่ใช้ในการค้นหาอีกแบบหนึ่งมาใช้แทน แล้วทำการค้นหาอีกครั้งจนพบหรือจนครบถ้วน รูปแบบที่ได้เก็บไว้ในฐานข้อมูลดังแสดงในภาพที่ 2-3 (ค)



ภาพที่ 2-3 รูปแบบที่ใช้ค้นหาภาพใบหน้า [7]

### 2.3 การหาขอบภาพ

การหาขอบภาพ (Edge Detection) เป็นการหาเส้นรอบวัตถุที่อยู่ในภาพ เมื่อทราบเส้นรอบวัตถุจึงสามารถคำนวณหาพื้นที่ (ขนาด) หรือรู้จักชนิดของวัตถุนั้นได้ อย่างไรก็ตามการหาขอบภาพที่ถูกต้องสมบูรณ์เป็นการยาก โดยเฉพาะอย่างยิ่งการหาขอบในภาพที่คุณภาพต่ำ เช่น มีความแตกต่างระหว่างพื้นหน้ากับพื้นหลังเพียงเล็กน้อย หรือมีความสว่างไม่สม่ำเสมอทั่วภาพ

ขอบภาพเกิดจากความแตกต่างของความเข้มแสงจากชุดหนึ่งไปยังอีกชุดหนึ่ง หากความแตกต่างนี้มีค่านาก ก็จะทำให้เห็นขอบภาพได้ชัดเจน ในทางตรงกันข้ามถ้าความแตกต่างนี้ค่าน้อย ขอบภาพก็จะไม่ชัดเจน

ในการหาขอบของภาพในแนวตั้งโดยใช้วิธีอย่างง่าย คือวิธีการหาผลค่าต่างระหว่างจุดสองจุด (ที่อยู่ข้างเคียงกัน) ดังสมการที่ 2-2

$$Y_{diff}(x, y) = I(x, y) - I(x, y + 1) \quad (2-2)$$

โดยที่  $Y_{diff}$  คือค่าความแตกต่างในแนวแกนตั้งและ  $I(x, y)$  คือค่าความเข้มแสงของชุดภาพที่ตำแหน่ง  $(x, y)$   
ผลของการใช้สมการ 2-2 มีค่าเทียบเท่ากับการคูนโวลุชันภาพด้วยเทมเพลต

$$\begin{bmatrix} 1 \\ -1 \end{bmatrix}$$

การหาขอนภาพในแนวอนกีสามารถหาได้เช่นเดียวกัน โดยใช้สมการ 2-3

$$X_{diff}(x, y) = I(x, y) - I(x + 1, y) \quad (2-3)$$

โดยที่  $X_{diff}$  คือความแตกต่างในแนวแกนนอน  
ผลของการใช้สมการ 2-3 มีค่าเทียบเท่ากับการคูนโวลุชันภาพด้วยเทมเพลต

$$\begin{bmatrix} -1 & 1 \end{bmatrix}$$

บางครั้งเราต้องการรวมผลต่างของค่าความแตกต่างในแนวแกนนอน และแนวตั้งเข้าด้วยกัน เพื่อที่จะได้มีตัววัดเกรดียนท์แมgnิจูด (Gradient Magnitude) เพียงตัวเดียว เมื่องจากค่าความแตกต่างอาจมีค่าเป็นบวกหรือลบ ดังนั้นการบวกค่าความแตกต่างของทั้งสองแกนอาจทำให้ขอนภาพเกิดการหลอกลวงกันเอง ในทางปฏิบัติเราจะต้องนำค่าสัมบูรณ์ (Absolute Value) หรือค่ากำลังสอง (Squared Value) ของค่าความแตกต่างของทั้งสองแกนมาบวกกันแทน

นอกจากหารดีบันท์แมgnิจูดแล้ว การหาทิศทางของขอนภาพ (Gradient Direction) ก็มีประโยชน์เช่นกัน การหาทิศทางของขอนภาพสามารถทำการคำนวณได้จากสมการ 2-4 ดังนี้

$$GD(x, y) = \tan^{-1} \left\{ \frac{Y_{diff}(x, y)}{X_{diff}(x, y)} \right\} \quad (2-4)$$

โดยที่  $GD(x, y)$  คือ ทิศทางของขอนภาพที่ตำแหน่ง  $(x, y)$

### ตัวอย่าง การหาขอนภาพและทิศทางของภาพ

$$\begin{bmatrix} 1 & 1 & 1 & 1 & 1 \\ 1 & 1 & 1 & 1 & 1 \\ 1 & 1 & 1 & 0 & 0 \\ 1 & 1 & 0 & 0 & 0 \\ 1 & 1 & 0 & 0 & 0 \end{bmatrix}$$

เริ่มจากการหาผลต่างตามแกนแนวอนตั้งด้วยการคูณโวลุชันภาพกับเทมเพลต

$$\begin{bmatrix} -1 & 1 \end{bmatrix}$$

หาผลต่างตามแกนแนวตั้งด้วยการคูณโวลุชันภาพกับเทมเพลต

$$\begin{bmatrix} 1 \\ -1 \end{bmatrix}$$

โดยได้ผลลัพธ์ดังนี้

$$X_{diff} = \begin{bmatrix} 0 & 0 & 0 & 0 & * \\ 0 & 0 & 0 & 0 & * \\ 0 & 0 & -1 & 0 & * \\ 0 & -1 & 0 & 0 & * \\ 0 & -1 & 0 & 0 & * \end{bmatrix}$$

$$Y_{diff} = \begin{bmatrix} 0 & 0 & 0 & 0 & 0 \\ 0 & 0 & 0 & 1 & 1 \\ 0 & 0 & 1 & 0 & 0 \\ 0 & 0 & 0 & 0 & 0 \\ * & * & * & * & * \end{bmatrix}$$

เกรเดียนท์เมกนิจูดหรือ  $GD(x, y)$  หาได้จาก  $|X_{diff}| + |Y_{diff}|$  ได้ผลดังนี้

$$\begin{bmatrix} 0 & 0 & 0 & 0 & 0 \\ 0 & 0 & 0 & 1 & 1 \\ 0 & 0 & 2 & 0 & 0 \\ 0 & 1 & 0 & 0 & 0 \\ 0 & 1 & 0 & 0 & 0 \end{bmatrix}$$

ทิศทางของอนภาพคำนวณ โดยใช้สมการ 2-4 ได้ผลดังนี้

$$\begin{bmatrix} * & * & * & * & * \\ * & * & * & \Downarrow & \Downarrow \\ * & * & \Rightarrow & * & * \\ * & \Leftrightarrow & * & * & * \\ * & \Leftrightarrow & * & * & * \end{bmatrix}$$

วิธีการหาอนภาพที่ก่อความมีข้อเสียคือการหาอนภาพไม่ได้นำค่าความเข้มแสงของจุดรอบข้างมาใช้ ซึ่งในความเป็นจริงแล้วภาพที่ได้มาส่วนใหญ่จะไม่มีอนภาพชัดเจน ขอบเขตของพื้นที่มักมีการเปลี่ยนแปลงอย่างช้า ๆ วิธีที่ก่อความ茫จะไม่สามารถหาอนภาพได้อย่างแม่นยำกับภาพถ่ายจะดังกล่าว การใช้เทมเพลตที่มีขนาดใหญ่ขึ้นจะช่วยแก้ปัญหานี้ได้

### 2.3.1 วิธีการหาอนภาพ

#### 2.3.1.1 การหาอนภาพโดยวิธีใช้เบล็อก

เป็นการหาอนภาพโดยใช้เทมเพลตขนาด  $3 \times 3$  สองเทมเพลต โดยเทมเพลตแรกจะใช้หาค่าความแตกต่างในแนวอน  $X_{diff}$  และค่าความต่างในแนวตั้ง  $Y_{diff}$  แสดงในภาพที่ 2-4

$$X_{diff} = \begin{bmatrix} -1 & 0 & 1 \\ -2 & 0 & 2 \\ -1 & 0 & 2 \end{bmatrix} \quad Y_{diff} = \begin{bmatrix} 1 & 2 & 3 \\ 0 & 0 & 0 \\ -1 & -2 & -1 \end{bmatrix}$$

| ภาพ  | $ X_{diff}  +  Y_{diff} $   | เทรซ์ไฮลต์ค่า 12   |
|--|---|--|
| $\begin{bmatrix} 0 & 0 & 0 & 0 & 0 & 0 & 2 & 0 & 3 & 3 \\ 0 & 0 & 0 & 1 & 0 & 0 & 0 & 2 & 4 & 2 \\ 0 & 0 & 2 & 0 & 2 & 4 & 3 & 3 & 2 & 3 \\ 0 & 0 & 1 & 3 & 3 & 4 & 3 & 3 & 3 & 3 \\ 0 & 1 & 0 & 4 & 3 & 3 & 2 & 4 & 3 & 2 \\ 0 & 0 & 1 & 2 & 3 & 3 & 4 & 4 & 4 & 3 \end{bmatrix}$ | $\begin{bmatrix} 4 & 6 & 4 & 10 & 14 & 12 & 14 & 4 \\ 6 & 8 & 10 & 20 & 16 & 12 & 6 & 0 \\ 4 & 10 & 14 & 10 & 2 & 4 & 2 & 4 \\ 2 & 12 & 12 & 2 & 2 & 4 & 6 & 8 \end{bmatrix}$ | $\begin{bmatrix} 0 & 0 & 0 & 0 & 1 & 1 & 1 & 0 \\ 0 & 0 & 0 & 1 & 1 & 1 & 0 & 0 \\ 0 & 0 & 1 & 0 & 0 & 0 & 0 & 0 \\ 0 & 1 & 1 & 0 & 0 & 0 & 0 & 0 \end{bmatrix}$ |

ภาพที่ 2-4 การหาของภาพโดยใช้เทนเพลตขนาด 3x3

### 2.3.1.2 การหาของภาพโดยบวชีเคนนี

เป็นการหาของภาพ โดยใช้หน้ากาก convolution ไว้ลุ้นที่เป็นอนุพันธ์อันดับหนึ่งของตัวกรองเก้าส์ เช่น ซึ่งมีค่าตามสมการที่ 2-5

$$G(x) = \frac{1}{\sqrt{2\pi}\sigma} e^{-\frac{x^2}{2\sigma^2}} \quad (2-5)$$

โดยที่  $G(x)$  คือ ตัวกรองเก้าส์เช่น

อัลกอริธึมของเคนนีจะใช้การทำ convolution ไว้ลุ้นหนึ่งมิติ โดยเริ่มจาก convolution ไว้ลุ้นระหว่างภาพ ต้นฉบับกับตัวกรองเก้าส์เช่น หลังจากนั้นก่อน convolution ไว้ลุ้นกับอนุพันธ์อันดับหนึ่งของตัวกรองเก้าส์ เช่นอีกรึ้ง โดยในการทำ convolution ไว้ลุ้นจะแยกทำในแกน  $x$  และ  $y$  อย่างละครึ้ง ผลที่ได้จะเป็น ส่วนประกอบทางแกน  $x$  และ  $y$  ตามลำดับ ส่วนประกอบทั้งสองนี้จะนำไปคำนวณหาขนาดและทิศทางของเกรเดียนท์ที่เต็มพิกเซล โดยกำหนดฟังก์ชันสองตัวแปร  $I(x, y)$  จะได้ตามสมการที่ 2-6 และ 2-7 ตามลำดับ

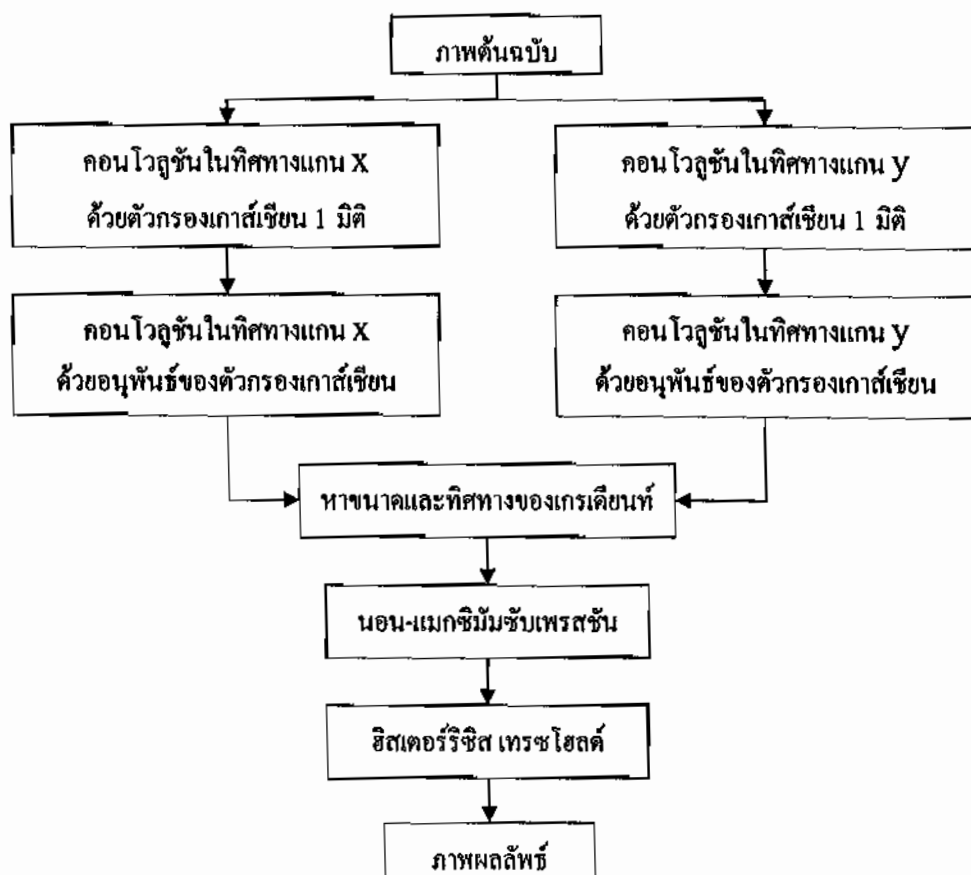
$$G_{mag} = \sqrt{\left(\frac{\partial I}{\partial x}\right)^2 + \left(\frac{\partial I}{\partial y}\right)^2} \quad (2-6)$$

โดยที่  $G_{mag}$  คือ เกรเดียนท์แมกนิจูด

$$G_{dir} = \tan^{-1} \left( \frac{\partial I}{\partial y} / \frac{\partial I}{\partial x} \right) \quad (2-7)$$

โดยที่  $G_{dir}$  คือ ทิศทางเกรเดียนท์

จากนั้นนำไปทำการวนการ ถอน-แมกซิมัมชั้บเพรสชัน (Nonmaximum Suppression) โดยกระบวนการนี้จะหาพิกเซลที่มีขนาดของเกรเดียนท์ตามทิศทางที่ตำแหน่งนั้นมากที่สุด จากนั้นพิกเซลดังกล่าวจะนำไปทำการวนการชิสเทอร์ริซิสเทρซ์ไฮล์ด์ (Hysteresis Threshold) โดยกำหนดค่าเทρซ์ไฮล์ดคึ้นมาสองค่าโดยค่ามากเป็น  $T_u$  และค่าน้อยเป็น  $T_l$  พิกเซลใดมีขนาดของเกรเดียนท์มากกว่า  $T_u$  จะเป็นขอบภาพ จากนั้นพิกเซลใดที่อยู่ติดกับพิกเซลที่เป็นขอบภาพและมีค่ามากกว่า  $T_l$  จะให้เป็นขอบภาพเช่นกัน ขั้นตอนการหาขอบภาพของแคนนิ่น แสดงในภาพที่ 2-5



ภาพที่ 2-5 ขั้นตอนการหาขอบภาพของแคนนิ่น

### 2.3.1.3 การหาขอ卜ภาพเทมเพลตดีกรีสอง

หากภาพที่ต้องการหาขอ卜มีการไล่ระดับความเข้มแสงแบบเชิงเส้น การใช้เทมเพลตโฉนดในการหาขอ卜ภาพจะไม่สามารถทำได้ ตัวอย่างเช่น ภาพต่อไปนี้

$$\begin{bmatrix} 1 & 2 & 3 & 4 & 5 & 6 & 7 & 8 & 9 \\ 1 & 2 & 3 & 4 & 5 & 6 & 7 & 8 & 9 \\ 1 & 2 & 3 & 4 & 5 & 6 & 7 & 8 & 9 \\ 1 & 2 & 3 & 4 & 5 & 6 & 7 & 8 & 9 \\ 1 & 2 & 3 & 4 & 5 & 6 & 7 & 8 & 9 \end{bmatrix}$$

เมื่อหาขอ卜ภาพตามแกนตั้งด้วย เทมเพลต

$$\begin{bmatrix} -1 & 0 & 1 \\ -2 & 0 & 2 \\ -1 & 0 & 1 \end{bmatrix}$$

จะได้ผลลัพธ์ดังนี้

$$\begin{bmatrix} 8 & 8 & 8 & 8 & 8 & 8 & 8 \\ 8 & 8 & 8 & 8 & 8 & 8 & 8 \\ 8 & 8 & 8 & 8 & 8 & 8 & 8 \end{bmatrix}$$

แต่ต้ากอน โวถูชันด้วยเทมเพลตเดิมอีกครั้งจะได้

$$\begin{bmatrix} 0 & 0 & 0 & 0 & 0 \end{bmatrix}$$

การกระทำการดังกล่าวจะคล้ายกับการหาค่าเชิงอนุพันธ์ของสมการเด็นตร์ได้ค่าคงที่ และเมื่อทำการหาค่าเชิงอนุพันธ์ของค่าคงที่อีกครั้งก็จะได้ศูนย์ การใช้เทมเพลตดีกรีสอง เช่น เทมเพลต ลาปลาเซียน การหาขอ卜ภาพที่มีคุณสมบัติดังกล่าวสามารถแก้ปัญหาได้ ต่อไปนี้คือตัวอย่างของ เทมเพลตลาปลาเซียน

$$\begin{bmatrix} 0 & -1 & 0 \\ -1 & 4 & -1 \\ 0 & -1 & 0 \end{bmatrix} \quad \text{หรือ} \quad \begin{bmatrix} -1 & -1 & -1 \\ -1 & 8 & -1 \\ -1 & -1 & -1 \end{bmatrix}$$

เกมเพลตตาปลาเรียนเป็นที่นิยมใช้กันมาก เพราะสามารถกำจัดการໄได้โภนสีหรือโภนความเข้มแสงได้ โดยสามารถเน้นความเปลี่ยนแปลงได้ดีกว่าวิธีโซเบต แต่ไม่ได้ให้ข้อมูลเกี่ยวกับทิศทางของขอบ

#### 2.3.1.4 การหาขอบภาพแบบเป็นลำดับขั้น

ปัญหาในการหาขอบภาพโดยทั่วไปส่วนหนึ่งมักเกิดจากเน้นขอบภาพที่ไม่ชัดเจน และขอบภาพสั้น ๆ ที่ไม่ประคิดประต่อกัน ขอบภาพเหล่านี้คือสิ่งที่ไม่ต้องการ แต่การใช้วิธีการหาขอบภาพธรรมชาติจะไม่สามารถกำจัดขอบภาพลักษณะนั้นได้ วิธีแก้ไขคือใช้การหาขอบภาพแบบเป็นลำดับขั้นซึ่งมีขั้นตอนปฏิบัติดังนี้

1. สร้างภาพใหม่จากเดิมและมีขนาดเป็น 1 ใน 4 ของภาพเดิม โดยค่าความเข้มของแต่ละจุดในภาพเดิกร คำนวณได้จากค่าเฉลี่ยของจุดทั้งสี่ที่ตรงกันในภาพใหญ่
2. สร้างภาพที่เล็กลงไปอีกครึ่งวิธีเดียวกัน จนกระทั่งภาพที่ได้แสดงเฉพาะ ขอบภาพที่ต้องการเท่านั้น
3. ทำการหาขอบภาพขั้นซึ่งอาจใช้วิธีโซเบตหรือวิธีอื่น ๆ แล้วทำทรัชไฮลด์
4. ณ ตำแหน่งที่เกิดของภาพขึ้น ให้ทำการหาขอบบริเวณจุดทั้งสี่ของจุดที่ตรงกันในภาพที่ใหญ่กว่าในอันดับถัดไป
5. ทำซ้ำจนถึงภาพสุดท้ายซึ่งเป็นภาพเริ่มต้นก็จะได้ขอบภาพที่ต้องการ

การตามขอบภาพ (Edge Following) หากเราทราบจุดใดจุดหนึ่งบนขอบภาพ เราสามารถหาจุดข้างเคียงที่เป็นขอบภาพ และสามารถนำไปตามขอบภาพจนกลับมาชั้นจุดเริ่มต้น โดยวิธีการตามขอบภาพอย่างง่ายมีดังนี้

1. สมมุติให้จุด  $(x, y)$  เป็นจุดใดจุดหนึ่งบนขอบภาพ
2. ตั้งค่าแฟลก (Flag) ให้จุด  $(x, y)$  ว่าเคยผ่านมาแล้ว
3. คำนวณหาเกรเดียนท์เมกนิจูดของขอบของจุดทั้งหมดที่อยู่รอบจุด  $(x, y)$
4. เลือกจุด 3 จุดที่มีค่าเกรเดียนท์เมกนิจูดสูงสุดแล้วใส่ไว้ในอะเรย์แบบ 3 คอลัมน์ โดยเรียงตามลำดับเกรเดียนท์เมกนิจูดของขอบ
5. เลือกจุดที่มีค่าเกรเดียนท์เมกนิจูดสูงสุด แล้วพิจารณาว่าตำแหน่งของจุดอยู่ในทิศทางใดเมื่อเทียบกับจุด  $(x, y)$  โดยกำหนดให้ทิศต่าง ๆ มีค่าดังนี้

$$\begin{bmatrix} 0 & 1 & 2 \\ 7 & * & 3 \\ 6 & 5 & 4 \end{bmatrix}$$

โดยที่ \* แทนค่าแทนงของจุด  $(x, y)$  หากจุดที่มีค่าเกรเดียนท์แมกนิจูดอยู่ด้านบนเมื่อเทียบกับจุด  $(x, y)$  ดังนั้นทิศทางที่กำหนดให้คือ :

6. กำหนดให้  $d$  แทนทิศทาง
7. ทำซ้ำในข้อ 3 แต่พิจารณาเฉพาะจุดที่อยู่ใน 3 ทิศทาง คือ ทิศทาง  $d$  ทิศทาง  $(d+1)\text{mod}8$  และทิศทาง  $(d-1)\text{mod}8$
8. หากไม่พบจุดใดเลขที่มีค่าเกรเดียนท์แมกนิจูดของขอบสูงพอในทิศทางที่เคลื่อนที่ไป ให้ลบจุดนั้นออกจากอะเรย์ และเติมจุดที่มีค่าเกรเดียนท์แมกนิจูดน้อยกว่าในอันดับถัดไป แล้วทำซ้ำ ในข้อ 3 หากทั้ง 3 จุดในແຄງກຸລນອອກມາ ให้ຄອຍກັບไปใช้จุดที่เหลือໃນແຄງກຸລນໄປ
9. หยุดเมื่อวงกลัมน้ำยังจุดเดิม หรือเมื่อมีการใช้เวลาตามขอบพานานเกินไป

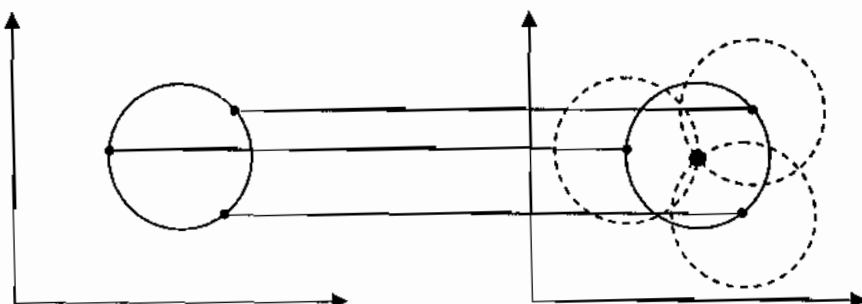
## 2.4 ภาพทราบสฟอร์ม (Hough Transform)

ภาพทราบสฟอร์มสามารถนำมาหาค่าพารามิเตอร์ต่างๆ ของวงกลมได้ เมื่อเราทราบค่าของเส้นรอบวง ในการสร้างวงกลมต้องมีค่าที่ใช้อ้างอิงในการสร้าง คือ รัศมี ( $R$ ) และค่าแทนงจุดศูนย์กลาง  $(a, b)$  ซึ่งสามารถอธิบายได้ในสมการที่ 2-8

$$\begin{aligned} x &= a + R \cos(\theta) \\ y &= b + R \sin(\theta) \end{aligned} \tag{2-8}$$

เมื่อนุ่น  $\theta = 360$  องศา ตำแหน่ง  $x, y$  จะเป็นจุดศูนย์กลางของวงกลม

ในการหาจุดศูนย์กลางของวงกลมจากค่าแทนงของเส้นรอบวงที่เราทราบนั้น หาได้โดยกำหนดค่าแทนงอ้างอิงใดๆ อบ่างน้อย 3 จุดบนเส้นรอบวง แล้วนำค่า  $R$  ที่ทราบค่ามาแทนลงสมการที่ 2-8 จะสามารถทราบค่าแทนงของจุดศูนย์กลางของเส้นรอบวงนั้น โดยดูจากค่าแทนงของจุดตัดกันของวงกลมเส้นประทั้ง 3 วง สร้างขึ้นจากค่าแทนงอ้างอิงใดๆ ดังแสดงในภาพที่ 2-6



ภาพที่ 2-6 การหาจุดศูนย์กลางวงกลม

## 2.5 งานวิจัยที่เกี่ยวข้อง

M. Sodhi, B.Reimer และ J.L. Choen [8] นำเสนองานตรวจสอบการเคลื่อนที่ของดวงตาของผู้ขับขี่รถยนต์บนท้องถนนโดยใช้อุปกรณ์จับภาพติดไว้ที่ศีรษะดังภาพที่ 2-7



ภาพที่ 2-7 ภาพอุปกรณ์ตรวจจับการเคลื่อนที่ของดวงตา [9]

ในงานวิจัยนี้ได้ศึกษาเกี่ยวกับความสัมพันธ์ของกิจกรรม 3 สิ่งคือ การเปลี่ยนช่องความถี่วิทยุ ติดรถยนต์ การมองกระจกมองหลังและการมองเครื่องวัดระยะทางที่ติดตั้งในรถ กับเวลาที่ใช้ในการทำกิจกรรมนั้น ผลการทดลองสรุปได้ดังตารางที่ 2-1 โดยมีหน่วยเป็นวินาที

ตารางที่ 2-1 สรุปผลการทดลองของ M. Sodhi, B.Reimer และ J.L. Choen [8] หน่วยเป็นวินาที

|                                       | วิทยุ<br>ติดรถยนต์ | กระจก<br>มองหลัง | เครื่องวัด<br>ระยะทาง |
|---------------------------------------|--------------------|------------------|-----------------------|
| ระยะเวลาตั้งแต่เริ่มถึงสิ้นสุดกิจกรรม | 26.12              | 26.56            | 9.24                  |
| ระยะเวลาที่ลําساຍตาจากถนนทั้งหมด      | 18.38              | 18.72            | 5.9                   |
| ระยะเวลานานสุดที่ลําساຍตาจากถนน       | 2.32               | 1.68             | 1.16                  |
| ระยะเวลาเฉลี่ยที่ลําساຍตาจากถนน       | 1.23               | 1.17             | 0.84                  |
| ระยะเวลาเฉลี่ยที่มอง                  | 0.90               | 0.86             | 0.71                  |

จากผลการทดลองสรุปได้ว่าระยะเวลาของการลําساຍตาออกจากถนนที่นานที่สุด คือการเปลี่ยนช่องความถี่วิทยุติดรถยนต์ คือใช้ระยะเวลา 2.32 วินาที รองลงมาคือการมองกระจกหลังใช้ระยะเวลา 1.68 วินาที และการมองเครื่องวัดระยะทางใช้เวลาอีกที่สุด คือ 1.16 วินาที เมื่อนำระยะเวลาเฉลี่ยการเปลี่ยนช่องความถี่วิทยุติดรถยนต์ใช้เวลา 1.23 วินาที การมองกระจกหลังใช้ระยะเวลา 1.17 วินาที และการมองเครื่องวัดระยะทางใช้เวลา 0.84 วินาที เมื่อผลการทดลองโดยเฉลี่ยมาเปรียบเทียบกับงานวิจัยก่อนหน้านี้ของ Wierwille, W.G. (1993) [10] ซึ่งเคยทดลองไว้คือ

## 1.6 วินาที พนวจเวลาเฉลี่ยของงานวิจัยชิ้นนี้ได้ค่าเฉลี่ยที่สูงกว่า โดยกิจกรรมที่ใช้น้อยกว่าถึง 2 กิจกรรม

Neeta Parmar [5] นำเสนอการตรวจสอบอาการจ่วงนอนของผู้เข้าร่วมในตัวอย่าง โดยจันภาพใบหน้าตรงของผู้ทดสอบมาแปลงเป็นภาพขาวดำแล้วปรับค่าเทเรซโซลด์ โดยกำหนดค่าเทเรซโซลด์คงที่ที่ 150 เพื่อให้ได้ภาพที่มีลักษณะขาวและดำตัดกันอย่างเห็นได้ชัด แล้วกำหนดค่าจุดข้างอิงหนึ่งจุดขึ้นตรงกลางภาพใบหน้าบริเวณเหนือริมฝีปาก จากนั้นกันหาจุดอ้างอิงไปทางด้านซ้าย จนพบจุดสีดำที่มีความต่อเนื่องกัน 25 จุดเพื่อใช้กำหนดค่าบริเวณด้านนั้นคือขอบของใบหน้าด้านซ้ายและทำวิธีการเดียวกันเพื่อหาขอบของใบหน้าด้านขวาเมื่อ จากนั้นทำการเลื่อนตำแหน่งการกันหาขอบภาพขึ้นไปทางด้านบนของภาพเรื่อยๆ ทีละແ霎 จะได้เส้นขอบของดวงตาและขอบใบหน้า ทำการลดสัญญาณรบกวนภายในพื้นที่ใบหน้า แล้วทำการแปลงภาพให้ออกจากรูปของกราฟค่าความเข้ม จะพนวจภาพในกราฟมีจุดทุบทยาอยู่ 2 จุด จึงทำการตรวจสอบระยะห่างของการเปลี่ยนแปลงของค่าความเข้มของตำแหน่งทั้งสอง ตำแหน่งแรกเป็นจุดทุบทยาของคิวและตำแหน่งที่สองเป็นจุดทุบทยาของตาหรือบนตาในขณะหลับตา เมื่อผู้ทดสอบอยู่ในสภาวะลึมตาปกติ ค่าระยะห่างของการเปลี่ยนแปลงของค่าความเข้มจะมีค่าน้อยกว่า เมื่อผู้ทดสอบหลับตา ค่าที่ได้นี้นำมาใช้ตัดสินใจในการแจ้งเตือน ความถูกต้องของงานวิจัยนี้ได้ 80% จากจำนวนผู้ทดสอบ 15 คน โดยข้อจำกัดในการนี้คือผู้ทดสอบมีผิวสีที่เข้มจะทำให้ไม่สามารถตรวจสอบได้เนื่องจากในขั้นตอนการแปลงภาพขาวด้านนั้นจะได้ภาพที่ค่อนข้างดำเนินมาใช้ทดสอบไม่ได้ และต้องกำหนดพื้นหลังของภาพให้มีลักษณะสีพื้นเดียวกัน

Kun Peng, Liming Chen, Su Rean และ George Kukharev [11] นำเสนอการใช้อัลกอริธึมในการกันหาดวงตาบนภาพใบหน้าที่มีความเข้มสีเทา โดยขั้นแรกทำการแปลงภาพให้ออกจากรูปของกราฟเดินที่อินเมจ แล้วทำการไปร์เซนเกรเดินที่อินเมจตามแนวแกน  $x$  และแกน  $y$  ในแนวแกน  $x$  หาจุดสูงสุดของกราฟเพื่อใช้กำหนดตำแหน่งของแนวดวงตาทั้งสองข้าง ส่วนในแนวแกน  $y$  หาจุดสูงสุดของกราฟทั้งด้านซ้ายและด้านขวาเพื่อหาขอบของใบหน้า เมื่อได้ตำแหน่งทั้งสองน้ำมายานบลงบนภาพจะได้ตำแหน่งบริเวณส่วนของดวงตา จากนั้นหาตำแหน่งกึ่งกลางของภาพเพื่อแบ่งบริเวณทั้งสองออกเป็น 2 ส่วน แล้วทำการคืนหาตำแหน่งของดวงตาโดยใช้เทคนิคแมทชิ่ง ความถูกต้องของงานวิจัยนี้ได้ 95.2 % จากจำนวนภาพใบหน้าที่ไม่สูงกว่า 227 ภาพ

Qiang Ji และ Zhiwei Zhu [12] นำเสนอวิธีการค้นหาและจับการเคลื่อนที่ของดวงตาเพื่อคาดคะเนการมองตำแหน่งต่างๆ บนหน้าจอคอมพิวเตอร์ โดยอาศัยหลักการของการสะท้อนแสงของแก้วตามนุյย์ งานวิจัยนี้ได้นำแสงอินฟราเรดมาใช้ โดยติดไว้รอบๆ กล้องอินฟราเรด เมื่อแสงส่องกระแทกกับดวงตาจะทำให้เห็นตำแหน่งของดวงตาได้อย่างชัดเจน จากนั้นจึงนำตำแหน่งของดวงตา

นาทำการวัดการเคลื่อนที่ของตาในแต่ละครั้งมีการเปลี่ยนองศาและระยะทางมากเพียงใด เพื่อนำข้อมูลนี้ไปใช้อ้างอิงถึงตำแหน่งที่มองบนหน้าจอคอมพิวเตอร์ โดยแบ่งส่วนหน้าจอออกเป็น 8 ตำแหน่ง ผลที่ได้จากการวิจัยนี้สามารถระบุตำแหน่งต่างๆ ได้ถูกต้องมากกว่า 90% มีเพียงบางตำแหน่งเท่านั้นที่ความถูกต้องเพียงมากกว่า 85% แต่ไม่ถึง 90%

Rowley, Baluja และ Kanade [13] นำเสนอรูปแบบค้นหาภาพใบหน้า โดยใช้ระบบโครงข่ายประสาทเทียม ซึ่งมีการใช้โครงข่ายประสาทเทียมหลายโครงข่ายช่วยในการทำงาน ระบบส่วนแรกจะเป็นการแก้ปัญหาภาพใบหน้าที่อ่อนในมุมต่างๆ โดยให้ชื่อว่าโครงข่ายเรนาเตอร์ (Router) การทำงานในส่วนนี้จะเป็นการนำภาพใบหน้า 1,048 ภาพมาเปลี่ยนขนาด อัตราการเปลี่ยนขนาดจาก 1 ถึง 1.2 หมื่นภาพและเปลี่ยนตำแหน่งด้วยการสุ่มทำให้เกิดภาพใบหน้าที่มีการเปลี่ยนแปลง 15,720 ภาพ นำภาพใบหน้าเหล่านี้ไปรู้จำโดยใช้โครงข่ายประสาทเทียมแบบแพร่กลับ (Back Propagation) ที่มีโครงสร้าง ชั้นรับข้อมูล 400 หน่วย ชั้นซ่อน 15 หน่วย และชั้นผลลัพธ์ 36 หน่วย งานนี้หากมีภาพที่ต้องการจะค้นหา ให้นำภาพนั้นมาทดสอบก่อนว่าภาพมีการอ่อนหรือไม่โดยใช้โครงข่ายเรนาเตอร์ หากมีการอ่อนให้ปรับภาพนั้นเป็นภาพหน้าตรงเพื่อจะได้นำไปทดสอบในขั้นตอนต่อไป

ในระบบส่วนที่สองเป็นขั้นตอนของการค้นหาภาพใบหน้า โดยเริ่กในส่วนนี้ว่า โครงข่ายค้นหา (Detector Networks) สำหรับข้อมูลที่ใช้ในการรู้จำของโครงข่ายนี้ประกอบไปด้วยภาพที่มีภาพใบหน้า และภาพที่ไม่มีภาพใบหน้า โดยให้ผลลัพธ์เป็น +1.0 เมื่อภาพนั้นเป็นภาพใบหน้า และผลลัพธ์เป็น -1.0 เมื่อภาพนั้นไม่ใช่ภาพใบหน้า

การทำงานในระบบนี้มีข้อเสียคือ ต้องมีภาพใบหน้าจำนวนมากเพื่อนำไปรู้จำ ทำให้ระบบทำงานได้ช้าและต้องมีหลายโครงข่ายเพื่อช่วยแบ่งการทำงาน และหากภาพที่จะนำมาค้นหานามีใช่ภาพที่มีการรู้จักมาก่อน อาจจะทำให้ไม่สามารถค้นหาภาพใบหน้านั้นได้

จากการศึกษาข้อมูลต่างๆ ข้างต้น ผู้วิจัยมีความสนใจที่จะนำวิธีการค้นหาภาพใบหน้าของมนุษย์มาใช้ในการแยกภาพใบหน้าออกจากภาพที่ได้จากการถ่ายเว็บคามера แล้วจึงนำภาพที่ได้มาทำการค้นหาควบคู่กับการหาขอบของดวงตาจากวิธีการหาขอบภาพที่ได้ศึกษาพบ งานนี้จึงทำการวินิจฉัยว่าผู้ขับขี่รถยนต์มีความเหนื่อยล้าหรือไม่

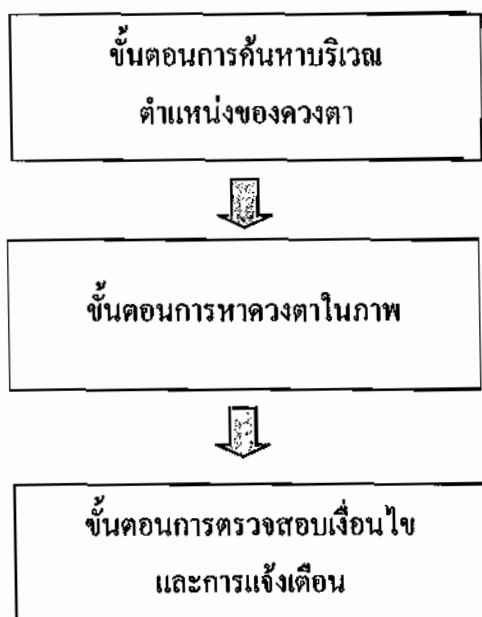
## บทที่ 3

### วิธีดำเนินการวิจัย

ในบทนี้จะกล่าวถึงโครงสร้างของระบบและขั้นตอนวิธีการวิจัย สำหรับการวิจัยครั้งนี้จะใช้โปรแกรม Matlab เวอร์ชัน 6.5 ในการพัฒนาระบบเฝ้าระวังอาการเหนื่อยล้าของผู้ขับขี่รถบันต์

#### 3.1 ขั้นตอนการวิจัย

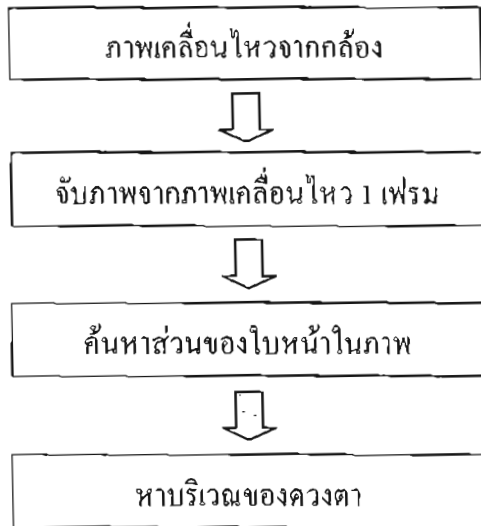
ขั้นตอนของระบบเฝ้าระวังอาการเหนื่อยล้าของผู้ขับขี่รถบันต์ ในงานวิจัยครั้งนี้แบ่งออกเป็น 3 ขั้นตอน คือ ขั้นตอนการค้นหาบริเวณตำแหน่งของดวงตา ขั้นตอนการหาดวงตาในภาพ และ ขั้นตอนการตรวจสอบเงื่อนไขและแจ้งเตือน ดังแสดงในภาพที่ 3-1



ภาพที่ 3-1 ขั้นตอนการวิจัย

### 3.2 ขั้นตอนการค้นหาบริเวณตำแหน่งของดวงตา

ในขั้นตอนการการค้นหาตำแหน่งของดวงตา มีขั้นตอนต่างๆ ดังแสดงในภาพที่ 3-2



ภาพที่ 3-2 ขั้นตอนการค้นหาตำแหน่งของดวงตา

#### 3.2.1 จับภาพจากสัญญาณภาพของกล้องเวบแคมจำนวน 1 เฟรม ดังในภาพที่ 3-3



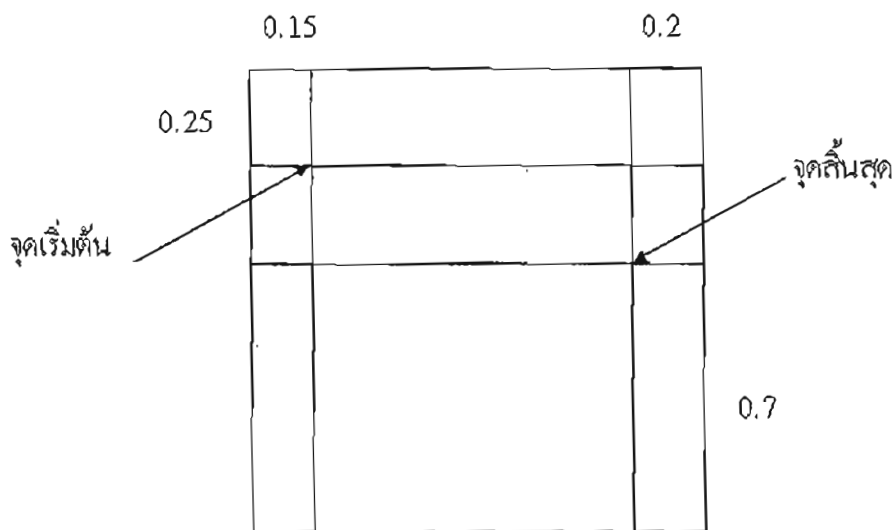
ภาพที่ 3-3 ภาพที่รับเข้ามาจากกล้องเวบแคม

#### 3.2.2 นำภาพที่ได้มาหาเฉพาะบริเวณใบหน้า โดยใช้หลักการค้นหาใบหน้าของโอเพ่นซอร์ซคอมพิวเตอร์วิชั่นของโอเพ่นซีวี เพื่อแยกส่วนที่เป็นใบหน้าออกจากพื้นหลัง



ภาพที่ 3-4 ภาพใบหน้าที่แยกออกจากพื้นหลัง

3.2.3 จากภาพใบหน้าที่ได้จากขั้นตอนที่แล้ว นำมาคำนวณหาตำแหน่งของบริเวณดวงตาโดย หาจุดเริ่มต้นและจุดสิ้นสุดของบริเวณดวงตา จากการหาความสัมพันธ์ของดวงตา กับใบหน้าดัง แสดงในภาพที่ 3-5



ภาพที่ 3-5 การหาความสัมพันธ์ของดวงตา กับใบหน้า

ค่าตัวเลขที่ปรากฏในภาพที่ 3-5 ได้มาจากการนำภาพใบหน้าที่ได้จากขั้นตอนของการหา ใบหน้ามาทำการกำหนดตำแหน่งเริ่มต้นในการตัดภาพ โดยจุดที่นำมาใช้ในการเริ่มต้นนั้นต้องเป็น จุดที่อยู่ต่ำกว่าตัววิวและอยู่ห่างจากทางด้านซ้ายมือ จากนั้นทำการกำหนดตำแหน่งสิ้นสุดในการ ตัดภาพ โดยจุดที่นำมาใช้นั้นจะอยู่ต่ำกว่าตัววิวและห่างจากทางด้านขวา มีกำหนดจุดได้แล้ว นำจุดทั้งสองมาทำการหาค่าเฉลี่ยของตำแหน่งบริเวณดวงตา จากภาพทดสอบทั้งหมดจำนวน 20 ภาพ ได้ค่าเฉลี่ยดังนี้ จุดเริ่มต้น ( $0.25, 0.15$ ) และ จุดสิ้นสุด ( $0.2, 0.7$ ) จากค่าที่ได้นำมาทำการตัดภาพ ตำแหน่งของดวงตา ดังตัวอย่างต่อไปนี้

3.2.3.1 คำนวณหาจุดเริ่มต้น เพื่อใช้ตัดภาพบริเวณของดวงตา

ในแนวแกน X จาก

$$X = \text{ค่าตามแนวแกนของภาพคูณด้วย } 0.25$$

ในแนวแกน Y จาก

$$Y = \text{ค่าตามแนวแกนของภาพคูณด้วย } 0.15$$

3.2.3.2 คำนวณหาจุดสิ้นสุดของภาพบริเวณดวงตา

ในแนวแกน X จาก

$$X = \text{ค่าตามแนวแกนของภาพคูณด้วย } 0.2$$

ในแนวแกน Y จาก

$$Y = \text{ค่าตามแนวแกนของภาพคูณด้วย } 0.7$$

ตัวอย่างการคำนวณหาตำแหน่งของบริเวณภาพดวงตา จากภาพที่ 3-6 เป็นภาพที่ขนาดของภาพอยู่ที่  $236 \times 236$  พิกเซล

จุดเริ่มต้นการตัดภาพ

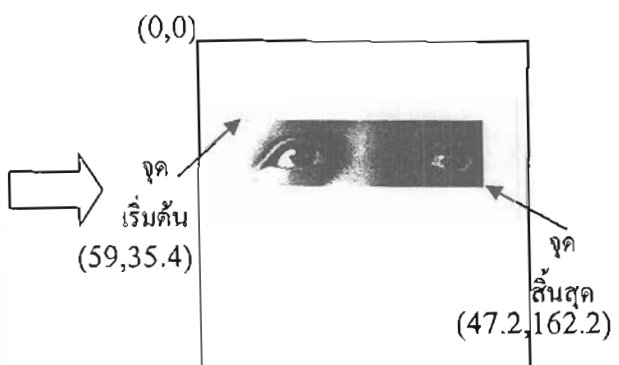
$$X = 236 \times 0.25 = 59$$

$$Y = 236 \times 0.15 = 35.4$$

จุดสิ้นสุดการตัดภาพ

$$X = 236 \times 0.2 = 47.2$$

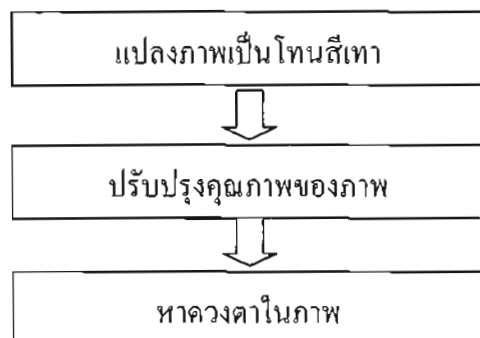
$$Y = 236 \times 0.7 = 162.2$$



ภาพที่ 3-6 การหาบริเวณดวงตา

### 3.3 ขั้นตอนการหาดวงตาในภาพ

ขั้นตอนการหาดวงตาในภาพ เป็นขั้นตอนที่สำคัญในการระบุให้ชัดเจนลงไปว่ามองเห็นดวงตาหรือไม่เห็นดวงตาของผู้ขับขี่รถชนต์ เพื่อทำให้ทราบว่าผู้ขับขี่รถชนต์หลับหรือมองไปในทิศทางด้านหน้ารถหรือไม่ แสดงดังภาพที่ 3-7



ภาพที่ 3-7 ขั้นตอนการหาดวงตา

3.3.1 ทำการแปลงภาพรีเวนดวงตา จากภาพสีในรูปแบบ RGB เป็นแบบโทนสีเทา เพื่อลดความซ้ำซ้อนของข้อมูลก่อนการประมวลผล ดังในภาพที่ 3-8



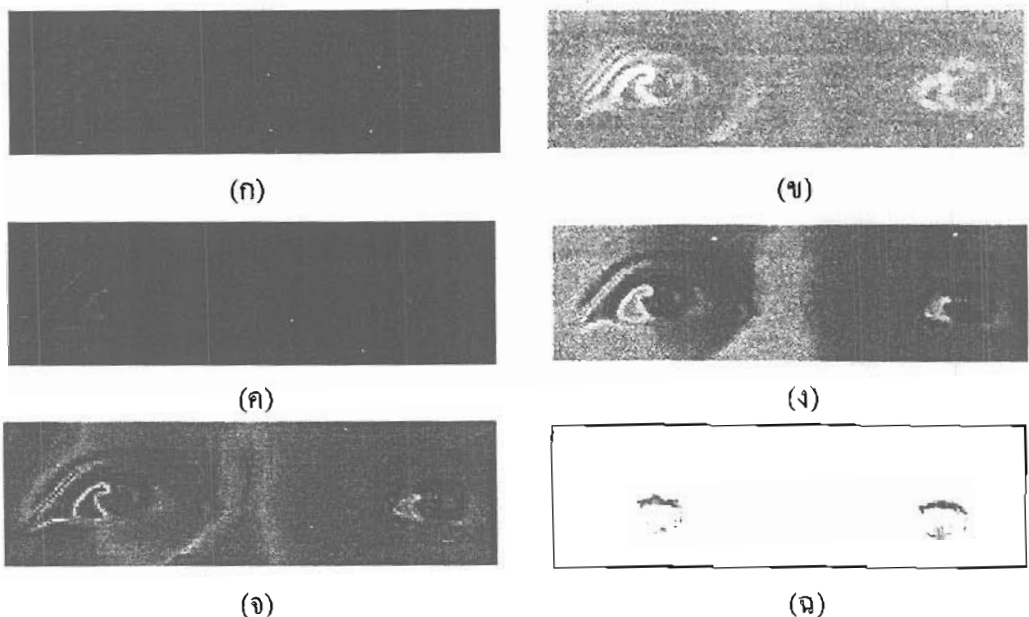
ภาพสี RGB

ภาพโทนสีเทา

ภาพที่ 3-8 การแปลงภาพเป็นโทนสีเทา

3.3.2 ทำการปรับปรุงคุณภาพของภาพ เพื่อเน้นส่วนของดวงตาให้ชัดเจนขึ้น ในขั้นตอนการปรับปรุงคุณภาพของภาพ ผู้วิจัยได้อศึกษาถึงการพื้นฐานในการประมวลผลภาพเรื่องการบวกและลบภาพ มาทำการทดสอบจนพบวิธีที่จะทำให้ได้ภาพที่เหมาะสมสำหรับนำไปใช้ค้นหาข้อมูลภาพ ซึ่งเป็นส่วนสำคัญในงานนี้ โดยมีขั้นตอนในการปรับปรุงคุณภาพของภาพดังนี้

3.3.2.1 จากภาพโทนสีเทา ดังในภาพที่ 3-8 ทำการแปลงให้อยู่ในรูปของเกรเดินท์ อิมเมจ (Gradient Image) เพื่อเน้นข้อมูลภาพให้ชัดเจน ดังในภาพที่ 3-9 (ก)



ภาพที่ 3-9 การปรับปรุงคุณภาพของภาพ

3.3.2.2 จะเห็นได้ว่าเส้นขอบมีความชัดเจนขึ้นกว่าภาพเดิม แต่ยังมีส่วนที่ตัดกับพื้นหลังไม่มากนัก จึงได้ทำการปรับความสว่างของภาพเพิ่มขึ้น ดังในภาพที่ 3-9 (ง)

3.3.2.3 นำภาพที่ 3-9 (ก) มาลบกับภาพที่ 3-9 (ข) ได้ผลลัพธ์ดังในภาพที่ 3-9 (ก)

3.3.2.4 นำภาพที่ 3-9 (ก) มาลบกับภาพที่ 3-9 (ค) ได้ผลลัพธ์ดังในภาพที่ 3-9 (ง)

3.3.2.5 นำภาพที่ 3-9 (ง) มาลบกับภาพที่ 3-9 (ค) ได้ผลลัพธ์ดังในภาพที่ 3-9 (จ)

3.3.2.6 นำภาพที่ 3-9 (ก) มาบวกกับภาพที่ 3-9 (จ) ได้ผลลัพธ์ดังในภาพที่ 3-9 (ฉ)

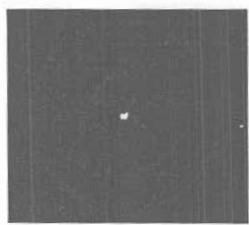
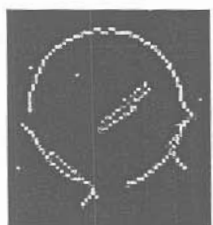
จะเห็นได้ว่าภาพผลลัพธ์ที่ได้มีความชัดเจนของบริเวณดวงตากว่าเดิมเป็นอย่างมาก

3.3.3 หาดวงตาในภาพ โดยใช้วิธีการหาเส้นขอบของดวงตาภายในภาพ จากภาพที่ 3-9 ได้ทำการปรับปรุงคุณภาพแล้ว การหาเส้นขอบของดวงตาบันทึกไว้ในรูปแบบที่สามารถใช้วิธีการหาเส้นขอบของแคนนิ่ง (Canny Edge Detection) เพื่อหาตำแหน่งของเส้นขอบที่เป็นวงกลมซึ่งเป็นตำแหน่งของตาคู่ จะได้ผลลัพธ์ดังในภาพที่ 3-10



ภาพที่ 3-10 เส้นขอบของดวงตา

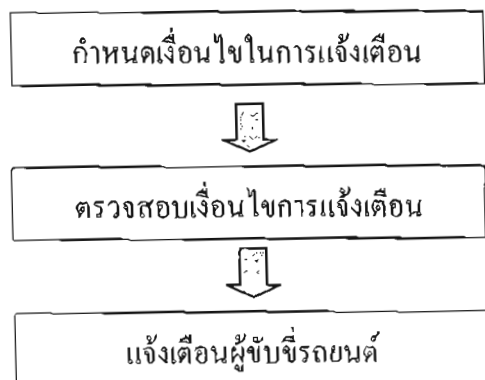
เมื่อได้เส้นขอบของตัวคำแล้ว ทำการหาจุดศูนย์กลางของเส้นขอบ เพื่อพิสูจน์ว่าเส้นขอบที่ได้เป็นตัวແນ່ງของตัวคำ โดยใช้หลักการของชีพทรานสฟอร์ม เพื่อหาจุดศูนย์กลางของเส้นขอบ โดยกำหนดค่าของรัศมีแบบคงที่ จากการทดลองค่าของรัศมีที่ใช้ในงานวิจัยนี้เท่ากับ 8 เมื่อสามารถหาจุดศูนย์กลางได้แสดงว่าเส้นขอบนั้นมีลักษณะเป็นวงกลม ซึ่งในบริเวณที่ค้นหา วัดถูกที่เป็นวงกลมก็คือตัวคำนั้นเอง ดังแสดงในภาพที่ 3-11



ในขั้นตอนการค้นหาดวงตาในภาพ หากในครั้งแรกของการค้นหาไม่พบตัวคำ จะทำการค้นหาซ้ำอีกครั้ง โดยนำภาพจากข้อ 3.3.2.6 มาเพิ่มค่าความส่วนของภาพครั้งละ 0.05 แล้วทำการค้นหาบนภาพอีกครั้ง ไปเรื่อยๆ จนกว่าจะพบบนภาพหรือค่าความส่วนที่เพิ่มขึ้นนั้นเท่ากับ 1 จึงหยุดค้นหา หากไม่พบเส้นขอบของดวงตาจะสรุปว่าไม่พบดวงตาในภาพ แล้วนำภาพใหม่เข้าสู่ขั้นตอนของการค้นหาดวงตา

### 3.4 ขั้นตอนการกำหนดเงื่อนไขและตรวจสอบเงื่อนไขในการแจ้งเตือน

เป็นขั้นตอนในการสร้างเงื่อนไขในการเจ็บเตือน ตรวจสอบเงื่อนไขที่สร้างขึ้นและเจ็บเตือนผู้ขับขี่รถยนต์ แสดงดังภาพที่ 3-12



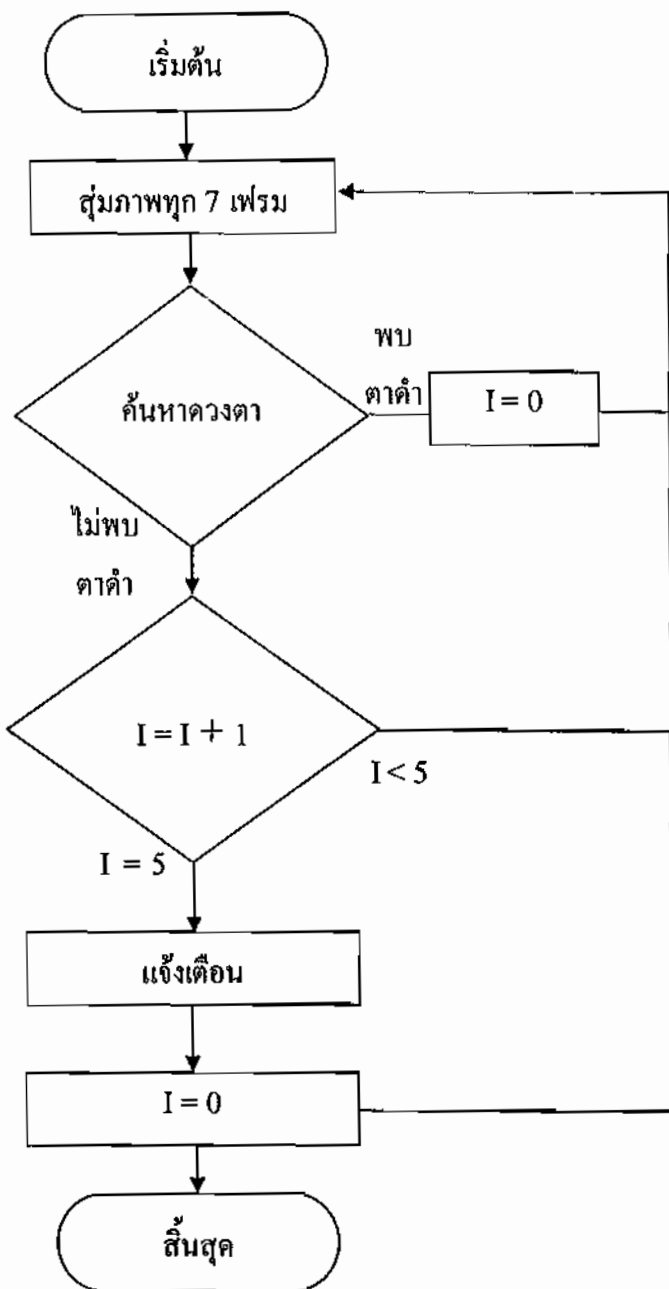
ภาพที่ 3-12 ขั้นตอนการกำหนดเงื่อนไขและตรวจสอบเงื่อนไขในการแจ้งเตือน

โดยกำหนดเงื่อนไขของการแข่งเดือน อ้างอิงตามผลการทดลองในงานวิจัยของ M. Sodhi, B.Reimer และ J.L. Choen [7] ที่สรุปว่าระยะเวลาในการทดสอบต้องห้ามความเร็วลดลงเพื่อทำกิจกรรมทั่วไป ได้แก่ การมองกระชากของหลัง, การมองเครื่องวัดความเร็วลดลงและการปรับค่าคงที่ 2.32 วินาที เมื่อนำเวลาคำนวณกับความต่อเนื่องของเฟรมภาพเคลื่อนไหวของกล้องที่ใช้ในการทดลองนี้จะได้ 34.8 เฟรม ( $2.32 \times 15$ ) หรือประมาณ 35 เฟรม

ค่าที่ได้จากการคำนวณนี้ จะนำไปเปรียบเทียบในการค้นหาดวงตา หากไม่สามารถค้นหาดวงตาติดต่อกันมากกว่าหรือเท่ากับ 35 เฟรมต่อเนื่อง จะทำการแข่งเดือนผู้ขับขี่รถยกต่อเนื่องจากได้มีการละลายตาก่อนหรือหลับตานานเกินจากค่าเฉลี่ยสูงสุด ตามผลการทดลองของ M. Sodhi, B.Reimer และ J.L. Choen [7] แล้วสร้างเงื่อนไขในการแข่งเดือนผู้ขับขี่รถยกต่อ

เงื่อนไขในการแข่งเดือน เริ่มจากการสู่มภาพขึ้นมา 1 ภาพ แล้วทำการค้นหาดวงตาตามขั้นตอนการค้นหาดวงตาในภาพ เมื่อพบส่วนที่เป็นตาดำในภาพ จะข้อนกลับไปนำภาพใหม่เข้ามาค้นหาอีกรัง หากไม่พบส่วนที่เป็นตาดำในภาพจะทำการเพิ่มค่าให้กับตัวแปรที่สร้างขึ้นมาเพื่อเก็บค่าเพื่อใช้ในการตัดสินใจแข่งเดือนทีละ 1 เมื่อตัวแปรนี้ค่าเท่ากับค่าที่ใช้ตัดสินใจแข่งเดือน จึงทำการแข่งเดือนผู้ขับขี่ด้วยสัญญาณเตียง

โดยกำหนดให้ 1 คือตัวแปรที่ใช้เก็บค่าในการตัดสินใจ เมื่อไม่พบดวงตาในขั้นตอนการค้นหาดวงตาให้ทำการเพิ่มค่าของ 1 ทีละ 1 จนกระทั่งค่าของ 1 มีค่าเท่ากับ 5 จึงทำการแข่งเดือน แล้วทำการกำหนดค่าเริ่มต้นของ 1 ใหม่เป็น 0 ดังในภาพที่ 3-13



ภาพที่ 3-13 เมื่อนำไปในการแจ้งเตือน

การสุ่มภาพเพื่อใช้ในการแจ้งเตือนกำหนดค่าไว้ที่ทุกๆ 7 เฟรม มีเหตุผลเนื่องมาหากเมื่อนำไปในการแจ้งเตือนกำหนดไว้ว่า เมื่อค้นหาดวงตาไม่พบจำนวน 5 ครั้งติดต่อกัน ให้ทำการแจ้งเตือน หากนำค่าจำนวน 5 ครั้งมาคูณกับ 7 จะได้จำนวนเฟรมของภาพอยู่ที่ 35 เฟรมซึ่งใกล้เคียงกับค่า 34.8 เฟรมมากที่สุด จึงให้การสุ่มภาพทุกๆ 7 เฟรมในงานวิจัยนี้ ค่าการสุ่มภาพสามารถเปลี่ยนแปลงให้มีค่าน้อยหรือมากกว่านี้ได้ โดยอ้างอิงกับการตั้งเงื่อนไขในการนับค่าเมื่อค้นหาไม่พบดวงตา ให้ค่า

เพรนของภาพที่คำนวณได้ในช่วงนี้ ใกล้เคียงกับค่า 34.8 เพรนกีสามารถที่จะเดือกด่านน้ำ นำไปใช้ในการทดลองได้

เมื่อนับค่าของภาพที่กันไฟไม่พบร่วงตากรบ 5 ครั้งตามจำนวนเงื่อนไขที่ระบุไว้ จะส่งเสียงเตือนผู้ขับขี่รถบนตัวว่าขณะนี้ไม่ได้มองไปบังตำแหน่งด้านหน้าของรถ หลังจากการแจ้งเตือนครั้งแรกแล้ว จะทำการเริ่มต้นนับค่าของภาพใหม่อีกรั้ง โดยเริ่มต้นที่ศูนย์ จนค่าของภาพที่ไม่เจอตัวตากรบจำนวนตามเงื่อนไขอีกรั้งซึ่งจะแจ้งเตือนอีกรั้ง

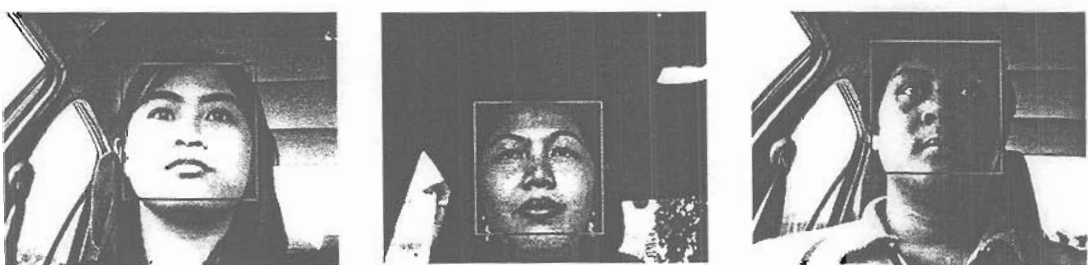
## บทที่ 4

### ผลการวิจัย

#### 4.1 ผลการวิจัย

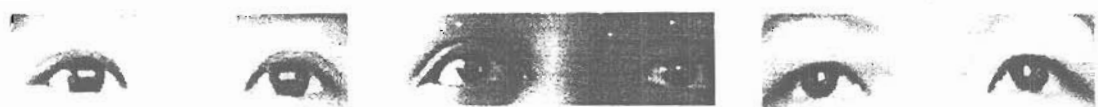
ระบบเฝ้าระวังอาการเหนื่อยล้าของผู้ขับขี่รถชนต์สร้างขึ้นจากโปรแกรม MATLAB 6.5 ในการทดสอบระบบใช้คอมพิวเตอร์โน๊ตบุ๊กที่ใช้หน่วยประมวลผลกลางชนิดเซเลโรน (Celeron) ความเร็วในการประมวลผล 1.3 กิกะเฮิร์ต(GHz) หน่วยความจำสำรองขนาด 256 เมกะไบท์(MB) ระบบปฏิบัติการwin โครส์เอ็กซ์พี ผู้วิจัยได้นำระบบเฝ้าระวังอาการเหนื่อยล้าของผู้ขับขี่รถชนต์ ไปทดสอบกับวีดีโอที่บันทึกภาพของผู้ขับขี่ในห้องโดยสารของรถชนต์ โดยติดตั้งกล้องวงแหวนที่คอนโซลบริเวณตำแหน่งของหน้าปัดแสดงความเร็วและความเร็วอุบเครื่องของรถชนต์ ภาพที่ได้จะเป็นภาพที่มองผ่านพวงมาลัยของรถชนต์ไปยังผู้ขับขี่ ภาพที่นำมาใช้ในการทดสอบต้องเป็นภาพหน้าตรง เห็นใบหน้าของผู้ขับขี่ได้อย่างชัดเจนและไม่ส่วนแบ่งตาหรือมีสิ่งใดสิ่งหนึ่งปิดบังจนทำให้เห็นดวงตาได้ไม่ชัดเจน

จากการทดลองปรากฏว่าระบบเฝ้าระวังอาการเหนื่อยล้าของผู้ขับขี่รถชนต์ สามารถเฝ้าระวังและแจ้งเตือนได้ 75 % ในขั้นตอนการค้นหาบริเวณตำแหน่งของดวงตาสามารถแยกภาพใบหน้าออกจากราฟฟินหลังได้ 96.36 % ส่วนการหาบริเวณตำแหน่งของดวงตาได้ 94.35 % และในการหาตำแหน่งตาค่าได้ 86.86 % โดยมีตัวอย่างของผลการทดลองดังนี้



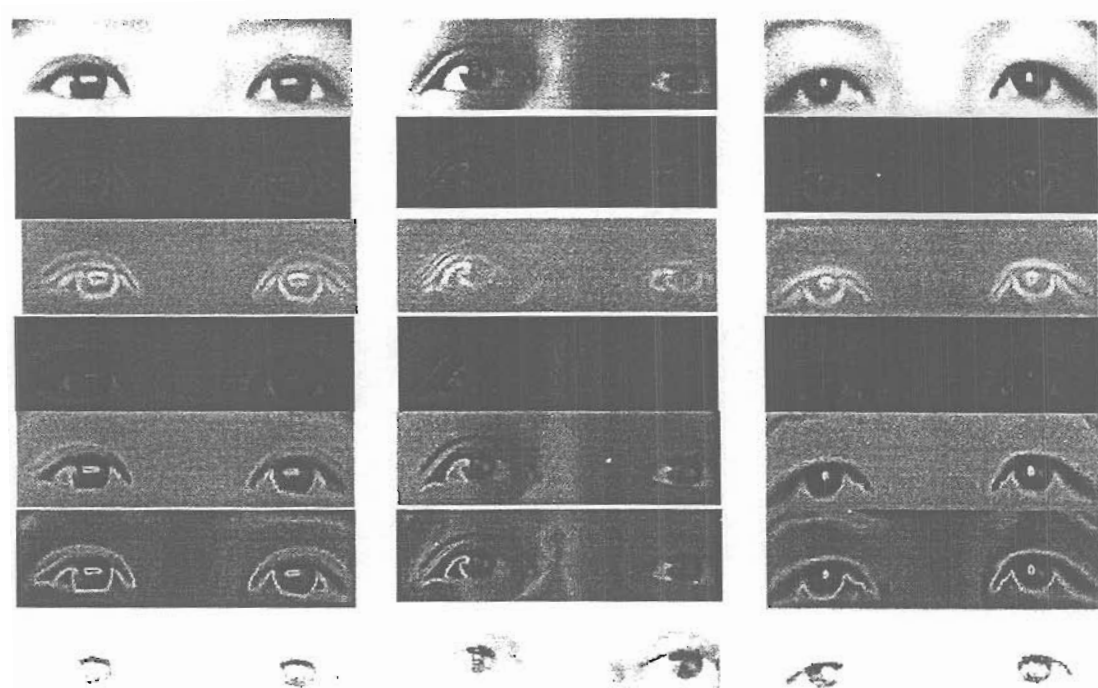
ภาพที่ 4-1 การค้นหาใบหน้าในภาพ

ภาพที่ 4-2 เป็นการค้นหาบริเวณที่คาดว่าเป็นตำแหน่งของดวงตาทั้งคู่ โดยวิธีการค้นหาที่ใช้นี้สามารถหาตำแหน่งของดวงตาจากภาพใบหน้าตรงได้อบย่างแม่นยำ อาจมีส่วนของตากขาวบางส่วนที่ขาดหายไป แต่ก็ไม่ทำให้การค้นหาตำแหน่งตาคลาดประสาทิกภาพลงไป



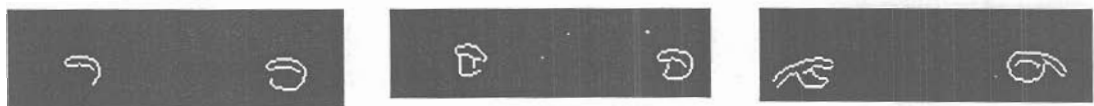
ภาพที่ 4-2 การค้นหาบริเวณดวงตา

ภาพที่ 4-3 เป็นการปรับปรุงคุณภาพของภาพ โดยทำให้บริเวณตำแหน่งตาดำของภาพเด่นจากภาพพื้นหลังเพื่อทำให้สามารถค้นหาขอบของตาดำได้ง่ายขึ้น



ภาพที่ 4-3 การปรับปรุงคุณภาพของภาพ

ภาพที่ 4-4 เป็นการหาเส้นขอบของดวงตา จากการหาขอบของดวงตาโดยส่วนใหญ่จะพบเส้นขอบของดวงตาทั้งคู่คิดเป็น 78.5 % บางส่วนจะพบเพียงดวงตาข้างใดข้างหนึ่ง แต่ก็สามารถคาดคะเนได้ว่าผู้ขับขี่นั้นลืมตากญี่ทั้งสองข้าง เนื่องมาจากโดยปกติของมนุษย์แล้วหากมีอาการง่วงนอนหรือหลับ จะหลับตาพร้อมกันทั้งคู่



ภาพที่ 4-4 การหาเส้นขอบของดวงตา

ภาพที่ 4-5 เป็นความผิดพลาดจากการกันหาใบหน้าของ โดยความผิดพลาดนี้จะพบบริเวณของรูจมูกหรือบริเวณที่ไม่สามารถระบุได้ประมาณ 3.64 %



ภาพที่ 4-5 ความผิดพลาดในการกันหาใบหน้า

ภาพที่ 4-6 เป็นการหาเส้นขอบตาที่ผิดพลาดอันมีผลมาจากการผู้ขับขี่มีดวงตาที่เบบกว่าคนปกติ หรืออาจเกิดจากตำแหน่งการติดตั้งกล้องที่มีมุมเงยมากเกินไป เป็นเหตุให้มองเห็นใบหน้าของผู้ขับขี่ได้เบบลงจนดูเหมือนดวงตาของผู้ขับขี่นั้นเบบลงไปด้วย



ภาพที่ 4-6 ความผิดพลาดในการหาเส้นขอบตา

#### 4.2 วิเคราะห์ผลการวิจัย

การทดลองระบบเฝ้าระวังอาการเหนื่อยล้าของผู้ขับขี่รถยนต์จะใช้วิดีโอทั้งหมด 20 ไฟล์ ระยะเวลาในการทดลอง 12 วินาทีต่อหนึ่งไฟล์ เพื่อให้ได้จำนวนของเฟรมในแต่ละไฟล์ 180 เฟรม (15 เฟรมต่อวินาทีคูณ 12 วินาที) ผลการทดลองพบว่าระบบสามารถแยกภาพใบหน้าออกจากราบพื้นหลังได้ 96.36 % หากวิเคราะห์ตำแหน่งของดวงตาได้ 94.35 % และแจ้งเตือนผู้ขับขี่รถยนต์ได้ 86.86 % โดยมีผลการการทดสอบระบบดังตารางที่ 4-1

ตารางที่ 4-1 ผลการทดสอบระบบ

| ลำดับ<br>ไฟล์ที่ | เฟรม<br>ภาพ<br>ทั้งหมด | กันภาพใบหน้า<br>(เฟรม) |                | กันหนาเริ่ม<br>ตำแหน่งดวงตา<br>(เฟรม) |                | กันหาตำแหน่ง<br>(เฟรม) |       | ส่ง<br>เสียง<br>เตือน<br>(ครั้ง) |
|------------------|------------------------|------------------------|----------------|---------------------------------------|----------------|------------------------|-------|----------------------------------|
|                  |                        | ถูกต้อง                | ไม่<br>ถูกต้อง | ถูกต้อง                               | ไม่<br>ถูกต้อง | พน                     | ไม่พน |                                  |
| 1                | 180                    | 160                    | 20             | 150                                   | 10             | 144                    | 6     | 0                                |
| 2                | 180                    | 178                    | 2              | 174                                   | 4              | 117                    | 43    | 0                                |
| 3                | 180                    | 180                    | 0              | 180                                   | 0              | 166                    | 14    | 0                                |
| 4                | 180                    | 164                    | 16             | 161                                   | 3              | 103                    | 58    | 0                                |
| 5                | 180                    | 180                    | 0              | 133                                   | 47             | 45                     | 88    | 2                                |
| 6                | 180                    | 177                    | 3              | 160                                   | 17             | 70                     | 110   | 2                                |
| 7                | 180                    | 166                    | 14             | 164                                   | 2              | 88                     | 76    | 1                                |
| 8                | 180                    | 177                    | 3              | 177                                   | 0              | 92                     | 85    | 1                                |
| 9                | 180                    | 179                    | 1              | 178                                   | 1              | 55                     | 123   | 2                                |
| 10               | 180                    | 178                    | 2              | 166                                   | 12             | 65                     | 101   | 2                                |
| 11               | 180                    | 178                    | 2              | 166                                   | 12             | 65                     | 101   | 2                                |
| 12               | 180                    | 149                    | 31             | 149                                   | 0              | 32                     | 117   | 2                                |
| 13               | 180                    | 168                    | 12             | 162                                   | 6              | 65                     | 97    | 1                                |
| 14               | 180                    | 173                    | 7              | 171                                   | 2              | 107                    | 64    | 1                                |
| 15               | 180                    | 177                    | 3              | 175                                   | 2              | 74                     | 101   | 2                                |
| 16               | 180                    | 174                    | 6              | 174                                   | 0              | 69                     | 105   | 2                                |
| 17               | 180                    | 179                    | 1              | 155                                   | 24             | 76                     | 79    | 1                                |
| 18               | 180                    | 180                    | 0              | 175                                   | 5              | 62                     | 113   | 2                                |
| 19               | 180                    | 179                    | 1              | 143                                   | 36             | 105                    | 38    | 0                                |
| 20               | 180                    | 173                    | 7              | 160                                   | 13             | 78                     | 82    | 2                                |

ระบบที่สร้างขึ้นสามารถแยกใบหน้าออกจากพื้นหลังได้อย่างถูกต้องจำนวน 160 เฟรม ส่วนที่ไม่พบภาพใบหน้าเกิดจากการจับภาพวัดอุปกรณ์ภายนอกรถผ่านทางกระจากข้างคนขับ การกันหาตำแหน่งดวงตาไม่พบเกิดจากลักษณะตาของผู้ขับซึ่งมีความลึกกว่าปกติ เป็นเหตุให้มุมตามี

ความเข้มมากซึ่งกันหากิดตำแหน่ง การกระพริบตาของผู้ขับขี่ไม่มีผลต่อการทำงานของระบบ  
เนื่องจากลักษณะการกระพริบตาจะมีความต่อเนื่องของเฟรมภาพสูงสุดเพียงแค่ 3 เฟรมต่อครั้ง ใน  
การแจ้งเตือนด้วยเสียงของการทดลองนี้เป็นที่น่าพอใจ เนื่องจากเป็นไปตามเงื่อนไขที่ได้กำหนดไว้  
ในบทที่ 3 สาเหตุที่สามารถแจ้งเตือนได้สูงสุดเพียง 2 ครั้ง เพราะเฟรมภาพที่ใช้ในการทดลองนั้น  
ค่อนข้างสั้นเพียง 180 เฟรม

## บทที่ 5

### สรุปผลการวิจัยและข้อเสนอแนะ

#### 5.1 สรุปผลการวิจัย

การค้นหาความต้องผู้เข้าร่วมทดลอง เพื่อวินิจฉัยว่าผู้เข้าร่วมทดลองมีอาการเหนื่อยล้าหรือหลับขณะเข้าร่วมทดลองหรือไม่นั้น สามารถใช้ประเมินได้ว่าผู้เข้ามีความพร้อมในการเข้าร่วมทดลองมากน้อยเพียงใด ในระบบผู้อำนวยการเหนื่อยล้าของผู้เข้าร่วมทดลองนี้ จึงได้ใช้วิธีค้นหาความต้องผู้เข้าร่วมทดลองตัวเองในการตัดสินใจว่าผู้เข้ามีความเหนื่อยล้าในระหว่างการเข้าร่วมทดลองหรือไม่ ผู้วิจัยได้ใช้ข้อมูลไฟล์ภาพเคลื่อนไหวจำนวน 20 ไฟล์ ระยะเวลาในการทดลอง 12 วินาทีต่อหนึ่งไฟล์ จำนวนของเฟรมในแต่ละไฟล์ 180 เฟรม มาทำการทดลอง โดยทำการสุ่มเลือกภาพนิ่งจำนวน 1 เฟรมในทุกๆ 7 เฟรม มาทำการค้นหาใบหน้าของผู้เข้าร่วมทดลอง จากนั้นทำการค้นหาบริเวณของดวงตาบนภาพใบหน้าที่ได้มา โดยคำนวณหาจุดเริ่มต้นและจุดสิ้นสุดของบริเวณดวงตาจากกระบวนการสัมพันธ์ของดวงตา กับใบหน้า เมื่อได้บริเวณของดวงตาแล้วทำการหาตำแหน่งของตาโดยใช้ชี้วัดการหาเส้นของแกนนี้ แล้วทำการตรวจสอบเงื่อนไขของการเฝ้าระวังเพื่อแจ้งเตือนผู้เข้าร่วมทดลอง

ในการวิจัยได้ทำการทดลองจับภาพผู้เข้าร่วมทดลองในสภาพแวดล้อมภายในรถบันติง แต่จำลองสถานการณ์การขับรถให้ผู้เข้าร่วมทดลองติดตาในขณะเข้าร่วมทดลอง ซึ่งได้ผลการวิจัยดังนี้ ขั้นตอนการค้นหาบริเวณตำแหน่งของดวงตาสามารถแยกภาพใบหน้าออกจากพื้นหลังได้ 96.36% สำหรับการหาบริเวณตำแหน่งของดวงตาได้ 94.35% การหาตำแหน่งตาได้ 86.86% และสามารถแจ้งเตือนผู้เข้าร่วมทดลองได้ 75% เมื่อนำมาเปรียบเทียบกับงานวิจัยของ Neeta Parmar [5] งานวิจัยนี้สามารถค้นหาตำแหน่งของตาเพื่อใช้ตัดสินใจในการแจ้งเตือนได้สูงกว่าเดิม 6.86% และยังสามารถค้นหาภาพใบหน้าบนพื้นหลังที่มีความสลับซับซ้อนกว่าได้ด้วย

#### 5.2 ปัญหาและข้อเสนอแนะ

ในงานวิจัยนี้ถึงแม้ว่าระบบที่พัฒนาขึ้นจะบรรลุวัตถุประสงค์ที่ตั้งไว้ แต่ก็ยังมีจุดอ่อนบางประการ ดังนี้

##### 5.2.1 ปัญหา

5.2.1.1 ผลกระทบจากแสงแดดที่ส่องลงมาข้างค้านหน้าหรือค้านขวาของผู้เข้าร่วมทดลองทำให้ภาพสว่างเกินไป เป็นผลทำให้เห็นดวงตาเป็นจุดเด็กๆ ไม่ชัดเจน

5.2.1.2 ในส่วนของตำแหน่งการติดตั้งกล้องจะถูกพ่วงมาด้วยของรอดยนต์ไว้กับไฟหน้าคนขับเมื่อมีการหมุนพวงมาลัยเลี้ยวรถ

5.2.1.3 จมูกของผู้ขับขี่รอดยนต์ที่แตกต่างจากลักษณะทั่วไป เช่น มีรูจมูกที่เป็นวงกลมขนาดใหญ่ อาจทำให้การกันไฟเผาผลาญเนื่องจากวงกลมน้ำด้วยของจมูกถูกพิจารณาสับสนกับเด็กของดวงตา

5.2.1.4 ลักษณะดวงตาที่แคน เป็นจักษุที่เปลี่ยนไปเป็นสีฟ้า ไม่สามารถกันไฟของดวงตาได้

5.2.1.5 ขณะประมวลผลการทำงาน หน้าจอติดต่อผู้ใช้งานจะถูกบล็อกกวนจากหน้าจอ ของการจับภาพใบหน้า ทำให้มีลักษณะเหมือนหน้าจอหนึ่งหนึ่งไม่มีการทำงาน ทั้งที่โปรแกรมยังประมวลผลอยู่

### 5.2.2 ข้อเสนอแนะ

5.2.2.1 เพิ่มการปรับปรุงคุณภาพของภาพให้สามารถลดผลกระทบจากแสงแดดที่ส่องมาสัมภคณ์ขับรอดยนต์

5.2.2.2 หากตำแหน่งในการติดตั้งกล้องให้สามารถมองเห็นภาพใบหน้าของคนขับได้ตลอดเวลา

5.2.2.3 เพิ่มการตรวจสอบการเคลื่อนไหวดวงตา ให้สามารถทราบว่าผู้ขับขี่มีของตัวแทนในขณะขับรถ เช่น การมองคุ้ครามของข้างซ้ายและขวา กระมอยหลัง หรือมองวิทยุติดรอดยนต์

5.2.2.4 ล้านาเทคนิคการหาตำแหน่งของดวงตา ในกรณีที่ผู้ขับขี่มีขนาดตาเล็กกว่าคนปกติเป็นด้าน

5.2.2.5 พัฒนาวิธีการหาตำแหน่งของดวงตาบนใบหน้า ที่มีประสิทธิภาพสูงกว่างานวิจัยนี้

5.2.2.6 ปรับปรุงวิธีการส่งสัญญาณเสียงเตือน ให้มีประสิทธิภาพมากกว่าเดิมเป็นเสียงดังต่อเนื่องที่ยาวกว่าที่ใช้ในงานวิจัยนี้หรือมีขั้นตอนในการเตือนเป็นช่วงเวลาสั้นๆ ในครั้งแรกหลังจากนั้นให้เตือนต่อเนื่องกันเป็นเวลานานจนกว่าจะมีการรีเซ็ตระบบใหม่

## 5.3 ประโยชน์ที่ได้รับจากการวิจัย

5.3.1 ได้ระบบเฝ้าระวังอาการเหนื่อยล้าของผู้ขับขี่รอดยนต์

5.3.2 เป็นแนวทางให้ผู้ที่สนใจได้ศึกษาและศึกษาเกี่ยวกับการเฝ้าระวังอาการเหนื่อยล้าของผู้ขับขี่รอดยนต์ต่อไป

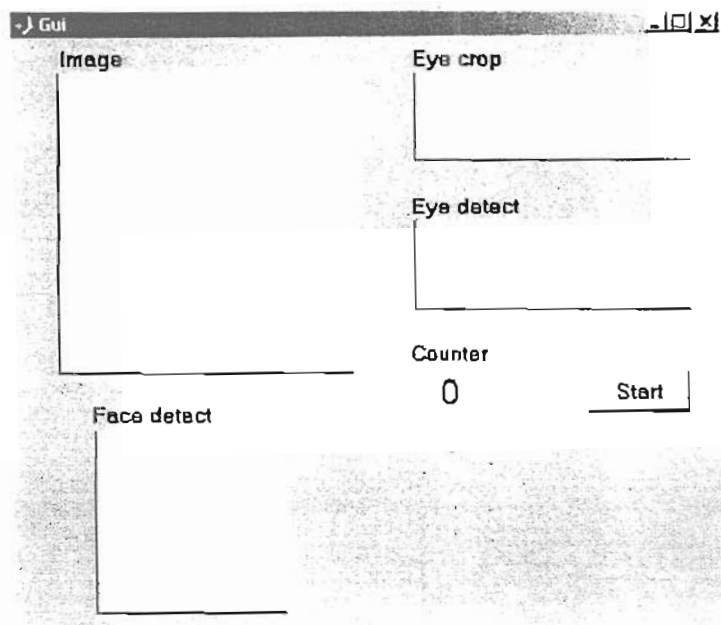
## เอกสารอ้างอิง

1. สำนักงานสถิติแห่งชาติ. อัตราตายต่อประชากร 100,000 คน จำแนกตามสาเหตุที่สำคัญ พ.ศ. 2542 – 2547 [ออนไลน์] 2547. [สืบค้นวันที่ 13 พฤษภาคม 2549].  
จาก [http://service.nso.go.th/nso/data/data23/stat\\_23/toc\\_4/4.3-1.xls](http://service.nso.go.th/nso/data/data23/stat_23/toc_4/4.3-1.xls)
2. อดิศักดิ์ พงษ์พูลผลศักดิ์, รัชชัย เหล่าศิริวงศ์ทอง และกีรติ เกื้อเกณมนูญ. “การศึกษาองค์ประกอบที่เกี่ยวข้องกับการเกิดอุบัติเหตุทางถนน.” วารสารวิจัยและพัฒนาบจช. ปีที่ 27 ฉบับที่ 3 (กรกฎาคม-กันยายน 2547) : 333-355.
3. สำนักงานป้องกันควบคุมโรคที่ 10. เรื่องเกี่ยวกับสุรา. [ออนไลน์] 2548.  
[สืบค้นวันที่ 5 กุมภาพันธ์ 2549]. จาก <http://dpc10.ddc.moph.go.th/drink.htm>
4. พลชัย พันธุ์อ่ำวไพร. “อุปกรณ์เตือนหลับใน.” เดลินิวส์ [วารสารออนไลน์] 25 กรกฎาคม 2547.  
[สืบค้นวันที่ 5 มกราคม 2549].  
จาก <http://www.dailynews.co.th/sunday/wway.asp?columnid=1278>
5. Neeta Parmar. Drowsy Driver Detection System. Undergraduate Thesis Department of Electrical and Computer Engineering, Ryerson University, 2002.
6. ณัฐริกา หัตถกรรม, วนัช วงศ์นิยมและร่วม ชินโสต. ระบบควบคุมการเข้าออกอัตโนมัติรถชนต์โดยตรวจสอนสีและป้ายทะเบียนรถชนต์. ปริญญาโทระดับปริญญาตรี ภาควิชาวิศวกรรมคอมพิวเตอร์ คณะวิศวกรรมศาสตร์ มหาวิทยาลัยเทคโนโลยีราชมงคล, 2548.
7. Paul Viola and Michael Jones. Fast and Robust Classification using Asymmetric AdaBoost and a Detector Cascade. [serial online] 2002 September [cited 2006 February 24]  
Available from :  
[http://research.microsoft.com/~viola/Pubs/Detect/violaJones\\_NIPS2002.pdf](http://research.microsoft.com/~viola/Pubs/Detect/violaJones_NIPS2002.pdf)
8. Manbir Sodhi, Bryan Reimer, Jerry L. Choen. On-Road Driver Eye Movement Tracking Using Head-Mounted Devices. Proceedings Of The 2002 Symposium on Eye tracking Research & Applications. 2002 ; (Volume 10) : 61-68.
9. SensoMotoric Instruments. Free Head Movement-iView X HED. [serial online]  
2005 September [cited 2006 May 10] Available from : <http://www.smi.de/iv/ivhed.htm>

10. Wierwille. "Visual and Manual Demands of In-car Controls and Displays." Automotive ergonomics. [serial online] May 1993 : 229-320.
11. Kun Peng, Liming Chen, Su Ruan, Georgy Kukharev. A Robust Algorithm for eye Detection on Gray Intensity Face without Spectacles. JCS&T [serial online] 2005 ; (Vol.5) : 127-132.
12. Qiang Ji, Zhiwei Zhu. Eye and Gaze Tracking for Interactive Graphic Display. Machine Vision and Applications [serial online] 2004 ; (Volume 15) : 139-148.
13. Henry A. Rowley, Shumeet Baluja, and Takeo Kanade. Neural network-based face detection. [serial online] 1998 November [cited 2006 January 20]  
Available online at <http://www-2.cs.cmu.edu/~har/faces.html>.

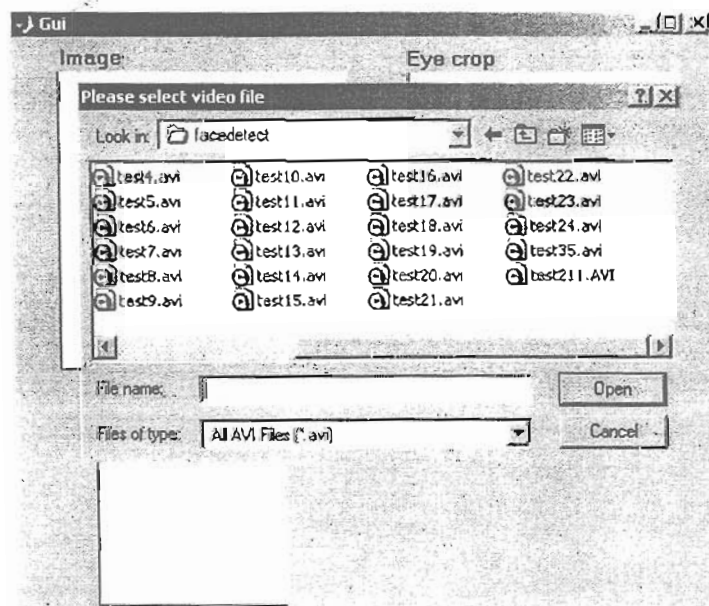
## ภาคผนวก ก

การใช้งานระบบเฝ้าระวังอาการเหนื่อยอัลตร้าซาวด์ของผู้เข้าขั้นปัจจุบันต์



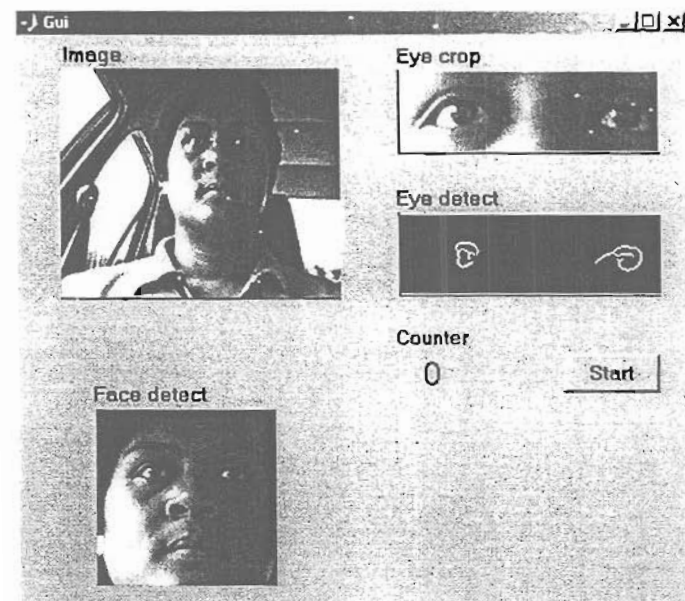
ภาพที่ ก-1 หน้าจอเริ่มต้นการใช้งาน

เริ่มต้นการใช้งานโปรแกรมด้วยการคลิกที่ปุ่ม Start...เพื่อเลือกไฟล์ภาพเคลื่อนไหวที่ต้องการ ดังภาพที่ ก-2



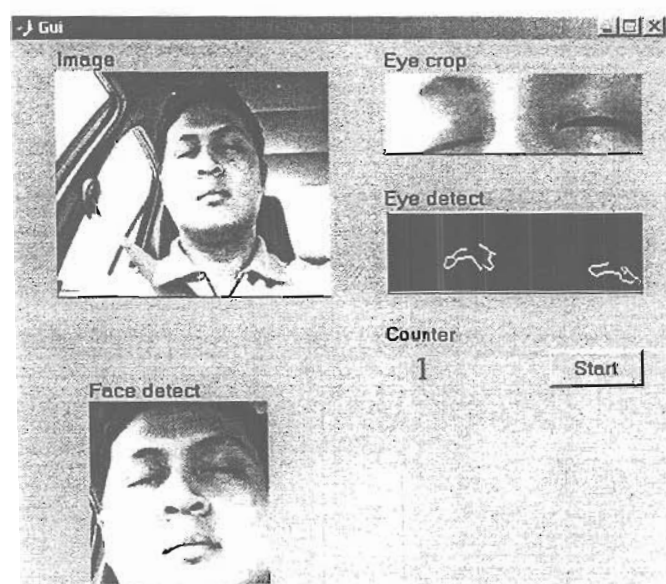
ภาพที่ ก-2 การโหลดไฟล์ภาพเคลื่อนไหว

เมื่อเลือกไฟล์ภาพเคลื่อนไหวที่ต้องการแล้ว โปรแกรมจะเริ่มดันการทำงาน ที่หน้าจอจะปรากฏภาพที่ได้จากการค้นหาใบหน้า ตำแหน่งบริเวณของดวงตา และเส้นขอบของดวงตา ดังแสดงในภาพที่ ก-3



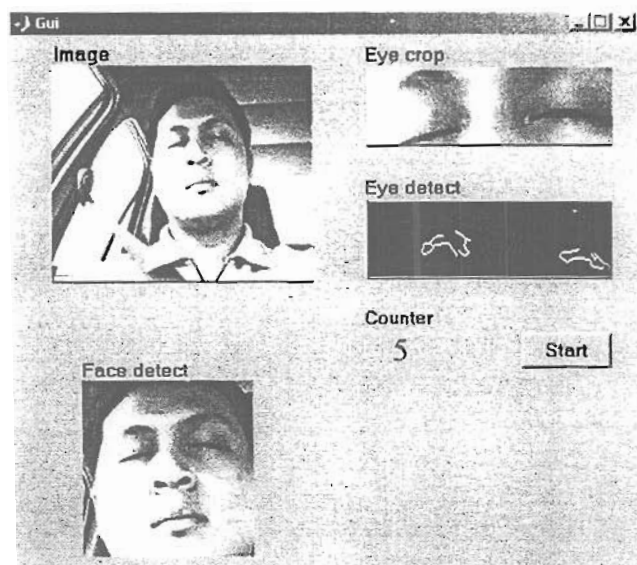
ภาพที่ ก-3 การค้นหาดวงตาในภาพ

ภาพที่ ก-4 แสดงภาพในจังหวะที่ผู้ขับปีรอดยนต์หลับตา เมื่อมีการหลับตา



ภาพที่ ก-4 การค้นหาดวงตาของคนขับรถยนต์ในขณะหลับตา

ภาพที่ ก-5 แสดงภาพในจังหวะที่ผู้ขับขี่รถบนศีรษะบันดา เมื่อมีการหลับตาติดต่อกันเป็นเวลานาน สังเกตที่ Counter จะนับครั้งที่ 5 ซึ่งเป็นที่กำหนดให้ระบบมีการแจ้งเตือนผู้ขับขี่รถบนศีรษะด้วยสัญญาณเสียง



ภาพที่ ก-5 การค้นหาดวงตาของคนขับรถบนศีรษะในขณะหลับตาติดต่อกัน

## ประวัติผู้วิจัย

ชื่อ : ว่าที่ร้อยตรีปรีดี แสงวิรุณ  
 ชื่อวิทยานิพนธ์ : ระบบเฝ้าระวังอาการเหนื่อยล้าของผู้ขับขี่รถชนต์  
 สาขาวิชา : เทคโนโลยีคอมพิวเตอร์

### ประวัติ

เกิดเมื่อวันอังคารที่ 4 มิถุนายน พ.ศ. 2517 ที่กรุงเทพมหานคร สำเร็จการศึกษา  
 อุดสาหกรรมศาสตรบัณฑิต สาขาวิชาเทคโนโลยีสารสนเทศเพื่ออุดสาหกรรม คณะเทคโนโลยีและการ  
 จัดการอุดสาหกรรม จากสถาบันเทคโนโลยีพระจอมเกล้าพระนครเหนือ ปัจจุบันเป็นอาจารย์พิเศษ  
 ที่สาขาวิชาเทคโนโลยีวิศวกรรมการทำความเย็นและการปรับอากาศ วิทยาลัยเทคโนโลยี  
 อุดสาหกรรม สถาบันเทคโนโลยีพระจอมเกล้าพระนครเหนือ